

Кыргыз Республикасынын Улуттук илимдер академиясы
Машина таануу, автоматика жана геомеханика институту
Б.Н. Ельшин атындагы Кыргыз-Россия Славян университети

Д 05.23.686 Диссертациялык кенеши

Кол жазма укугунда
УДК 004.413:004.8 (575.2) (043.3)

Верзунов Сергей Николаевич

Интеллектуалдык маалыматтарды талдоонун негизинде геоэкологиялык
процесстерге мониторинг жүргүзүү жана аныктоо методдорун иштеп чыгуу

05.13.01 – системалык талдоо, маалыматты башкаруу жана иштеп чыгуу

Техника илимдеринин доктору
даражасын алуу үчүн диссертациянын
Авторефераты

Бишкек – 2024

Аталган иш Кыргыз Республикасынын Улуттук илимдер академиясынын Машина таануу, автоматика жана геомеханика институтунун «Маалыматтык-өлчөө системалары» лабораториясында **аткарылган**.

Илимий кенешчиси: **Брякин Иван Васильевич** техникалык илимдердин доктору, профессор, Кыргыз Республикасынын Улуттук илимдер академиясынын Машина таануу, автоматика жана геомеханика институтунун «Маалыматтык-өлчөө системалары» лабораториясында башчысы, Бишкек ш.

Расмий оппоненттер: **Савченко Елена Юрьевна** техникалык илимдердин доктору, профессор, «Кыргызстан Эл аралык университети» Окуу-илимий-өндүрүштүк комплексинин Коммерциялык эмес билим берүү мекемесинин ректору, Бишкек ш.

Бrimкулов Улан Нургазиевич Кыргыз Республикасынын Улуттук илимдер академиясынын корреспондент-мүчөсү, техникалык илимдердин доктору, профессор, И. Раззаков атындагы Кыргыз мамлекеттik техникалык университетинин «Компьютердик системалардын программалык камсыздоосу» кафедрасынын профессору, Бишкек ш.

Сатыбаев Абдуганы Жунусович физика-математика илимдеринин доктору, профессор, М.М. Адышев атындагы Ош Технологиялык Университетинин «Маалыматтык технологиялар жана башкарту» кафедрасынын башчысы, Ош ш.

Жетектоочу мекеме: Кыргыз Республикасынын Бишкек шаарындагы «Россия Илимдер Академиясынын илимий станциясы» федералдык мамлекеттik илим мекемеси, дареги: 720049, Кыргыз Республикасы, Бишкек-49

Диссертацияны коргоо 2024-жылдын 22 - ноябрь күнү saat 14:30 да Кыргыз Республикасынын Улуттук илимдер академиясынын Машина таануу, автоматика жана геомеханика институтунун жана Б.Н. Ельцин атындагы Кыргыз-Россия Славян университетинин алдындагы физика-математика жана техника илимдеринин доктору (кандидаты) окумуштуулук даражасын изденип алууга диссертацияларды коргоо боюнча Д 05.23.686 диссертациялык кенештин отурумунда болот. Дареги: 720071, Бишкек ш., Чуй пр., 265, 374. Диссертацияны коргоонун онлайн трансляциясынын идентификациялык коду <https://vc.vak.kg/b/052-lto-tw1-0js>.

Диссертация менен Кыргыз Республикасынын Улуттук илимдер академиясынын (720071, Бишкек ш., Чуй пр., 265а), Б.Н. Ельцин атындагы Кыргыз-Россия Славян университетинин (720000, Бишкек ш., Киев кеч., 44) китеңканасынан жана Кыргыз Республикасынын Президентине караштуу Улуттук аттестациялык комиссиянын сайтында https://stepen.vak.kg/diss_sovety/d-05-23-686 таанышууга болот.

Автореферат 2024-жылдын 22-октябрьнда таратылган.

Диссертациялык кенештин окумуштуу катчысы
Ф.-м.и.к, у.и.к.

I. Brikkin

Керимкулова Г.К.

ИШТИН ЖАЛПЫ МУНӨЗДӨМӨСҮ

Диссертациянын темасынын актуалдуулугу курчап турган чөйрөгө антропогендик басымдын күчөшү менен шартталган, ал экологиялык кейгөйлөрдү биздин замандын эн олуттуу кейгөйлөрүнүн катарына коет. Экономиканын динамикалык өнүгүшү, калктын санынын осушү, илим жана техника жаатындагы прогресс жаратылыш чөйрөсүнө таасир этүүчү техногендик процесстерди күчтөт.

Геоэкологиялык мониторинг тутумдары – алардын натыйжалуулугун жогорулаттуу учун заманбап маалыматтык технологияларды колдонууну талап кылган көп функциялуу жана белүштүрүлгөн тутумдар. Экологиялык кейгөйлөргө жооп катары маалыматтын чоң көлемүн камтыган эсептөө техникасы, маалымат технологиялары жана интернет ресурстары берген жаңы мүмкүнчүлүктөрдү эске алуу менен маалыматтарды чогултуу жана талдоо процесстерин өркүндөтүү болушу керек. Бул жерде маанилүү бағыт болуп жасалма интеллекттин (ЖИ) жетишкендиктерин колдонуу менен интеллектуалдык мониторинг тутумдарын түзүү саналат. Геоэкологиялык маселелерди эффективдүү чечүү учун жаратылыш системаларынын булганышы, айлана-чөйрөнүн мониторинги, урбанизацияланган ландшафттардын геоэкологиясы, ошондой эле жаратылыш жана техногендик кубулуштарды талдоо сыйктуу чөйрөлөрдө изилдөөгө бағытталган интеллектуалдык маалымат-өлчөө тутумдарын иштеп чыгуу талап кылнат.

Геологиялык процесстерди толук түшүнүү учун геологиялык чөйрөнүн абалы жөнүндө маалыматтарды тез жана ишенимдүү чогултууну камсыз кылуу зарыл. Маалымат-өлчөө тутумдарында (МӨТ) ЖИ ыкмаларын колдонуу чогултуулган маалыматтардын негизинде үйрөтүлгөн ЖИ колдонуу менен чоң көлемдөгү маалыматтарды натыйжалуу иштетүүгө, көбүрөөк автоматташтырууга, тактыкты жана ишенимдүүлүктүү жогорулатууга мүмкүндүк берет.

Диссертациянын темасынын артыкчылыктуу илмий бағыттар, негизги илмий программалар (долбоорлор), окуу жана илмий мекемелер тарабынан жүргүзүлүүчү фундаменталдык изилдөө иштери менен байланышы. Диссертациялык иш Кыргыз Республикасынын Улуттук илимдер академиясынын Машина таануу, автоматика жана геомеханика институтунун Маалыматтык жана өлчөө тутумдары лабораториясында төмөнкү темалар боюнча илмий долбоорлордун пландарына ылайык жүргүзүлгөн изилдөөлөрдүн алкагында аткарылган: «Геоэкосферанын абалына мониторинг жүргүзүүнүн инновациялык ыкмаларын жана каражаттарын иштеп чыгуу» (2018-2020 ж.), мамлекеттik каттоо № 0007140, «Геоэкосфераны тайыз инженердик геофизикалык изилдөө учун аппараттык жана программалык камсыздоону иштеп чыгуу» бөлүмү. Ошондой эле «Кыргыз Республикасындагы геоэкологиялык мониторингди санараптештируү учун физикалык-техникалык интеллектуалдык тутумдарды өнүктүрүү» (2021 – 2023-жылдар), мамлекеттik каттоо № 0007732, «Баштапкы геоэкологиялык маалыматты каттоо жана контролдоо учун санараптик камтылган тутумдарды өнүктүрүү» бөлүмү.

Изилдоонун максаты жана мілдептери. Иштин максаты – интеллектуалдық маалымат жана өлчөө тутмдарын түзүү аркылуу геоэкологиялык процесстерди аныктоо маселелерин чечүүнүн натыйжалуулугун жогорулатуу.

Бул максатка жетүү үчүн бир катар теориялык жана практикалык маселелерди чечүү зарыл болгон, алардын негизгилери:

- геоэкологиялык процесстерге мониторинг жүргүзүүнүн өзгөчөлүктөрүн талдоо;
- геоэкологиялык процесстердин абалын көзөмөлдөө үчүн ЖИ колдонуунун методологиясы боюнча изилдөө;
- интеллектуалдык маалымат жана өлчөө тутумдарын түзүүнүн негизги принциптерин иштеп чыгуу;
- радиотолкун модулдарын долбоорлоодо маалыматтарды интеллектуалдык талдоонун колдонуу методологиясын иштеп чыгуу;
- датчиктердин индукциялык компоненттеринин параметрлерин өлчөөнүн ыкмаларын жана приборлорун иштеп чыгуу;
- геоэкологиялык убакыт катарларын аныктоо методдорун иштеп чыгуу;
- медициналык геоэкологиялык мониторинг тутумдарында сүрөттөрдү аныктоо методдорун иштеп чыгуу;
- электр линияларындагы кемчиликтерди аныктоо ыкмаларын иштеп чыгуу.

Алынган натыйжалардын илимий жаңылығы.

1. Геоэкологиялык чойронун абалына мониторинг жүргүзүүнүн интеллектуалдык системасынын жаңы концепциясы сунушталды, ал геоэкологиялык процесстердин параметрлерине мониторинг кылуу жана талдоо боюнча комплекстүү чечим болуп саналат.
2. Терен нейрон тармактарына негизделген жаңы метод иштелип чыккан, ал сенсорлордун индуктивдүү компоненттеринин параметрлерин өлчөөдө колдонулат жана алгоритмдик ыкмага салыштырмалуу кокустук фондуу электромагниттик талаалардын таасири шарттарында параметрлердин тактыгын эки эсеге жакшыртат.
3. Микротилкелүү антенналарды долбоорлоону автоматташтыруунун жаңы ыкмасы сунушталган, анда терен нейрон тармактарынын жардамында микротилкелүү антенналардын конструктивдик CCSR-элементтеринин дизайнын тандоо жүргүзүлөт. Бул алардын мүнөздөмөлөрүн: жыштык диапазонун, күчөшүн жана бағыттуулугун жакшыртуу максатында ишке ашырылган.
4. Убакыттык катарларды иштеп чыгуу үчүн базалык вейвлеттин кошумча жөндөлүүчү параметрлерин камтыган жана маалыматтардагы ар кандай өзгөчөлүктөрдү эске алууга мүмкүндүк берген адаптивдүү мультивейвлеттik тармактын жаңы структурасы сунушталган.
5. COVID-19, пневмония жана башка опко ооруларын ыкчам диагностикалоо максатында КТ жана рентген сүрөттөрүнө негизделген медициналык

геоэкология чойрөсүндөгү универсалдуу мониторинг системалары иштелип чыккан. Бул системалар конволюциялык нейрон тармактарына негизделген.

Алынган натыйжалардын практикалык маанилүүлүгү

1. Геоэкологиянын ар кандай багыттарында (электр менен камсыздоо тутумдарындагы бузулууларды аныктоо жана дем алуу системасынын ооруларын аныктоо үчүн медициналык сүрөттөрдү талдоо) маселелерди чечүү үчүн интеллектуалдык ыкмаларды колдонууга мүмкүнчүлүк берген **контролдоо жана диагностика программалык компоненттери иштелип чыккан**. Айрыкча, электр өткөрүү чубалгыларынын линияларында онлайн режимде белүүчөлүү разряддарды көзөмөлдөө үчүн терен үйрөнүү негизиндеги система иштелип чыккан. Маалыматтарды иштетүү методикасына өзгөчө көнүл буруулуп, бул методика системасын үйрөнүү жана кемчиликтерди таануу жөндөмдүүлүгүн жакшыртат. Бул системалар ААК «Кыргызстандын Улуттук электр тармактары» жана Кыргыз Республикасынын Улуттук илимдер академиясынын Биология институтунда ишке киргизилип, тиешелүү актылар менен бекемделген.
2. Геоэкологиялык процесстерди божомолдоо үчүн жасалма интеллект системасы иштелип чыккан, ал айлана-чойредөгү өзгөрүүлөрдү, атап айтканда Манаас аэропортундагы көрүнүүнүн алыстыгын божомолдоонун натыйжалуулугун бир кыйла жогорулатат. Интеллектуалдык ыкмаларды мониторингдин стандарттык процедураларына интеграциялоо кырсыктуу абалдарды алдын алуу же тобокелчиликтерди азайтуу үчүн ез убагында чара көрүүге мүмкүндүк берет.
3. Диссертациялык иштин алкагында иштелип чыккан илимий жана практикалык материалдар Б.Н. Ельцин атындагы Кыргыз-Россия Славян университетинин «Программалык инженерия» багыты боюнча билим берүү программасына киргизилген. Машиналык үйрөнүү, жасалма интеллект системалары жана чоң маалыматтарды талдоо сыйктуу заманбап интеллектуалдык жана практикалык ишмердүүлүккө студенттердин кызыгуусу жана катышуусу жогорулатылган, бул алардын кесиптик компетенцияларын өнүктүрүүгө өбелгө түзөт. Натыйжалардын ийгиликтүү интеграциясы тиешелүү акт менен бекемделген.
4. Илимий-маалымат талаага интеграциялоо. Геоэкологиялык мониторинг системаларын иштеп чыгуунун негизги максаттарынын бири геоэкология чойрөсүндөгү учурдагы көйгөйлөр боюнча бирдиктүү маалыматтык талаа түзүү болуп саналат. Ошондуктан, айлана-чойронун абалы боюнча адистерге эркин маалымат алуу мүмкүнчүлүгүн камсыз кылган программалык каражаттардын комплекси иштелип чыккан.

Коргоого коюлуучу диссертациянын негизги жоболору

1. Геоэкологиялык мониторингдин интеллектуалдык системаларына системалуу талдоо жүргүзүүнүн натыйжалары, анда заманбап маалыматтык технологиялар менен жасалма интеллект ыкмаларын колдонуу геоэкологиялык

процессстерди мониторинг кылуунун натыйжалуулугун, тактыгын жана ишенимдүүлүгүн бир кыйла жакшыртарын көрсөтөт.

2. **Микротилкелүү антенналардын мұноздомолорун оптималдаштыруу ыкмасы**, ал кеп катмарлуу нейрон тармактарынын жардамы менен алардын жыштык диапазону, күчтүү жана бағыттоо сыйктуу параметрлерин жакшыртат, CSRR-ячайкаларынын түзүлүшүн оптималдаштыруу менен ишке ашырылат.
3. **Индуктивдүү компоненттердин параметрлерин аныктоо методу**, интеллектуалдык маалыматтарды талдоого негизделген, бул индуктивдүү компоненттердин параметрлерин мониторинг кылуунун тактыгын жана ишенимдүүлүгүн жогорулатат.
4. **Мультивейвлет-трансформацияларга негизделген адабтивдүү нейрон тармак модели**, базалык вейвлеттин кошумча жөнгө салынуучу параметрлерин камтыйт жана маалыматтардагы ар кандай өзгөчөлүктөрдү эске алууга мүмкүндүк берет.

Талапкердин жеке салымы. Диссертациялык иште келтирилген жана илимий жаңылыкка ээ болгон бардык жыйынтыктар автор тарабынан жеке түрдө жана илимий кенешчинин жетекчилиги алдында алынган.

[1, 2] эмгектерде Брякинге И.В. изилдөө проблемасын түзүү таандык. [2-8] эмгектерде геоэкологиялык факторлордун мониторинг тутумдарында маалыматтарды аныктоо жана болжолдоо проблемасын формулировкалоо Лыченкого Н.М. таандык. [9, 10] эмгектерде Ханасова В.В. санариптик үч компоненттүү индукциялык магнитометр үчүн Т түрүндөгү фильтрди ишке ашырган. [11, 12] эмгектерде Раимжанов Х.А. коронавирустук инфекцияны жана пневмониянын ар кандай түрлөрүн дифференциалдык диагностикалоо үчүн жасалма интеллект системасынын айрым модулдарын программалык камсыздоону ишке ашырган. [13-18] эмгектеринде биргелешкен авторлор маалыматтарды талдоо жана изилдөө үчүн техникалык колдоо көрсөткон. Акырында эмгектерде [19, 20] Бочкарев И.В. электр тармактарындагы бузулуулардын себептерин талдоодо олуттуу жардам көрсөттү, ал эми [21-24] иштерде Касимова А.У. тектердин электрдик касиеттерин өлчөөчү прибордун прототибин техникалык ишке ашырды. [25] иште Кириллова В.В. программалык камсыздоону ишке ашырган. [26-28] эмгектеринде авторлоштор изилдөө маселесин формулировкалашты.

Диссертациянын жыйынтыктарын апробациялоо. Диссертациянын жыйынтыктары томонку конференцияларда көрсөтүлгөн:

1. Эл аралык конференция International Ural Conference on electrical power engineering (URALCON) Magnitogorsk, 29-сентябрдан 1-октябрغا чейин, 2023-ж.;
2. X Эл аралык илимий конференция, математикалык жана компьютердик моделдөө Омск, 10-февраль, 2023-жыл;
3. Илим жана билим чөйрөсүндөгү табигый, так жана математикалык дисциплиналарды изилдөө жана өнүктүрүүнүн 20 жылдыгына арналган

республикалык илимий-практикалык конференция. Физикалык процесстерди математикалык жана компьютердик моделдөө. Душанбе, 09-февраль, 2023-жыл;

4. Эл аралык конференция International Russian Automation Conference (RusAutoCon) Sochi, 04–10-сентябрь, 2022-жыл;
5. Жаш окумуштуулардын жана студенттердин XIV Эл аралык конференциясы “Илимий изилдөөлөрдөгү заманбап жабдуулар жана технологиялар”, Бишкек, 27–29-апрель, 2022-жыл;
6. ЭТФтин биринчи деканы профессор В.А. Юриковдун жаркын элесине арналган “Илим жана технологиядагы инновациялар” эл аралык конференциясы, Бишкек, 2022-жылдын 20–21-апрели;
7. А.Л. Иозеферанын жаркын элесине арналган VIII Эл аралык илимий конференция., Омск, Россия, 20-ноябрь, 2020-жыл.
8. Эл аралык конференция International Russian Automation Conference, (RusAutoCon) 2020, Сочи, Россия 06–12-сентябрь, 2020-ж.
9. С.С. Ефимовдун жаркын элесине арналган VII Эл аралык илимий конференция. Омск, Россия, 22-ноябрь, 2019-жыл.
10. Эл аралык конференция International Conference on Industrial Engineering, Applications and Manufacturing, ICIEAM 2020, Сочи, 18–22-май, 2020-жыл.
11. Эл аралык конференция 2nd International Turkish World Engineering and Science Congress in Antalya Анталья, Турция, 7-10-ноябрь, 2019-жыл.
12. Жаш окумуштуулардын жана студенттердин XI Эл аралык конференциясы “Илимий изилдөөлөрдөгү заманбап жабдуулар жана технологиялар”, Бишкек, 24–26-апрель, 2019-ж.
13. Жаш окумуштуулардын жана студенттердин X Эл аралык конференциясы “Илимий изилдөөлөрдөгү заманбап жабдуулар жана технологиялар”, Бишкек, 18–20-апрель, 2018-ж.
14. Р.Л. Долгановдун жаркын элесине арналган V Эл аралык илимий конференция, Омск, Россия, 1-декабрь, 2017-жыл.
15. Деформациялануучу катуу заттардын механикасы боюнча X Буткул россиялык конференция. Самара, Россия, 18–22-сентябрь, 2017-жыл.

Диссертациядагы негизги илимий жыйынтыктар 52 басма иштерде чагылдырылган, алардын ичинен 4у Scopus системасында катталган басылмаларда, 2 монография КРде басылып чыккан, 1 КРдин ойлоп табууга патенти жана 5 программалык камсыздоонун автордук күбелүктөрү Кыргыз Республикасынын Өкмөтүнүн интеллектуалдык менчик жана инновациялар боюнча мамлекеттик кызметтиң катталган.

Структурасы жана коломү. Диссертация мазмындан, кириш сөздөн, алты болумден, корутундудан, 262 атальштагы колдонулган адабияттардын тизмесинен, 11 тиркемеден турат жана негизги тексти 242 бетти, 101 сүрөттү, 18 таблицаны камтыйт. Жалпы коломү – 295 бет.

ДИССЕРТАЦИЯНЫН НЕГИЗГИ МАЗМУНУ

Киришүүдо диссертациялык иштин темасынын актуалдуулугу негизделет, анын максаттары жана миддеттери белгиленет, илимий жаңылык, алынган жыйынтыктардын практикалык маанилүүлүгү аныкталат. Коргоого чыгарылчы

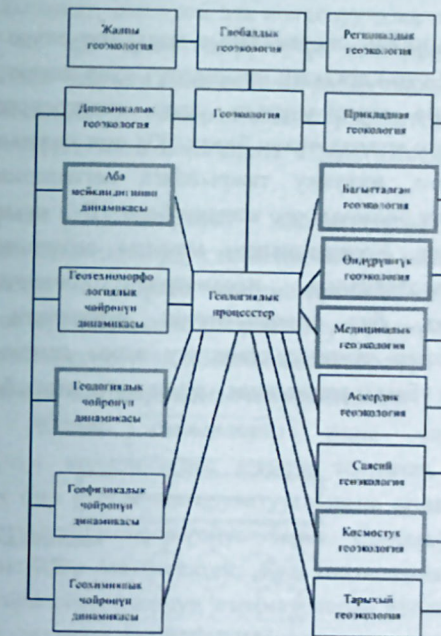
негизги жоболор баяндалат, автордун жеке салымы, ошондой эле иштин структурасы жана көлөмү чагылдырылат.

Биринчи белум «Адабиятка сереп салуу» геоэкологиялык мониторинг тутумында интеллектуалдык маалыматтарды талдоону кароого арналган. Негизги көнүл ЖИни чоң көлөмдөгү маалыматтарды иштетүү учун колдонууга бурулат, бул талдоонун сапатын жакшыртууга жана тездетүүгө мүмкүнчүлүк берет. Бул технологиялар экологиялык коркунчттарды так болжолдоого жана алдын алууга, ошондой эле табигый жана техникалык ресурстарды башкаруу жана чечимдерди кабыл алуунун натыйжалуулугун жогорулатууга жардам берет.

Техникалык системаларды башкаруунун эффективдүү жана ыкчам ыкмаларына алып келген өнүккөн мониторинг тутмдарын иштеп чыгууга жана ишке киргизүүгө И.В.Брякин (2014, 2022) жана Н.М. Лыченко (2010) чон салым кошкон жана алар маалымат жана өлчөө тутмдарын иштеп чыгууда тутумдук талдоо методологиясын колдонуу идеясын койгон. Биздин елкоде медициналык геоэкологияда ЖИ колдонууга Э.Л. Миркин (2013, 2019, 2008) көрүнүктүү салым кошкон. Энергия менен камсыздоо көйгөйлөрүнө интеллектуалдык мониторинг тутумун куруу жаатында А.Б. Бакасова эмгектенип келет (2022). Бул иштердин баары экология, медицина жана өнөр жайдагы процесстерди аныктоо, мониторинг жүргүзүү жана талдоо учун ЖИ методологиясын олуттуу түрдө өнүктүрүп жана байтууну улантууда.

Жер тууралуу экологиялык илимдердин жана, биринчи кезекте, геоэкологиянын изилдөө предмети болуп табигый-тарыхый жана техногендик процесстердин таасири астында айлана-чейрөдө болуп жаткан мыйзам ченемдүү өзгөрүүлөр саналат, алар техногенез деп аталып, адамдын чарбалык ишмердүүлүгү менен тыгыз байланышкан жаңы геоэкологиялык процесстерди түзөт. Геоэкологиянын структурасынын принципиалдуу модели 1-сүрөттө көрсөтүлгөн (Розанов Л.Л., 2017).

1. Геологиялык чойрөнүн динамикасында жер көчкүлерүн жана жар кулашын божомолдоо учун топурактардын диэлектрик өткөргүчтүгүн жана өткөрүмдүүлүгүн изилдөө. Иштелип чыккан ыкмалар кооптуулук деңгээлин таасири көрүүгө мүмкүндүк берет.
2. Багытталган геоэкологияда, бул иште сунушталган конструкциялык параметрлерди оптимизациялоо ыкмасы микротилкелүү антенналарды иштеп чыгуунун ылдамдыгын жогорулатат, бул учурда күчтүү, багыттуулук, жана кайтарылган зыян коэффициентин жакшыртат.
3. Өндүрүштүк геоэкологияда, заманбап мониторинг ыкмалары электр линияларындагы кемчиликтерди аныктоого мүмкүндүк берет, бул электр камсыздоонун ишенимдүүлүгүн жогорулатат.



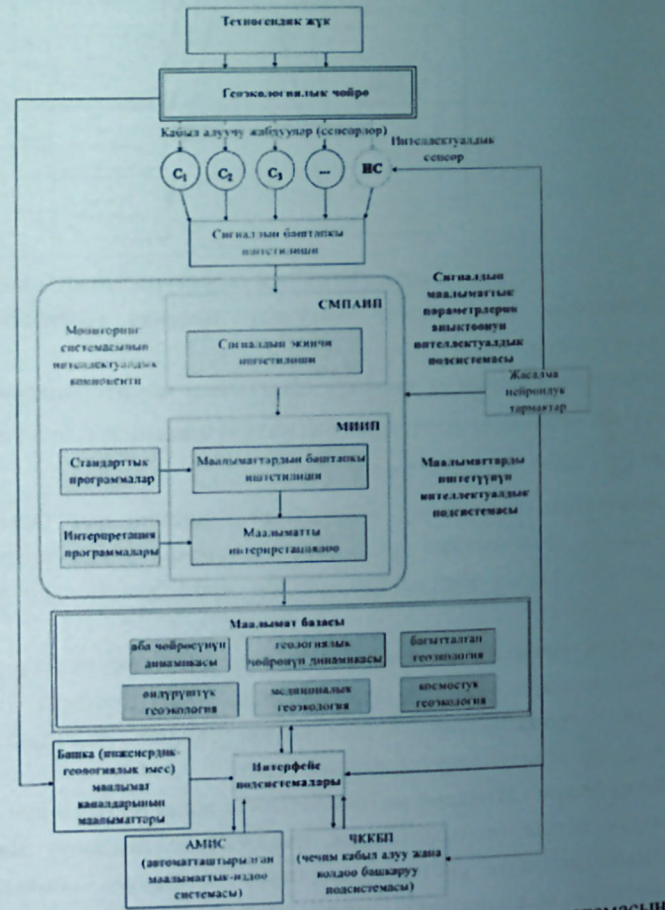
1-сүрөт – Геоэкологиянын структурасынын блок-схемасы

Изилдөөлөр жана иштеп чыгуулар төмөнкү геоэкология тармактарында жүргүзүлген:

4. Абанын динамикасында, көрүнүү алыстыгын мониторингдөө ыкмаларын иштеп чыгуу аба ырайынын шарттарын баалоо учун маанилүү, бул коомдук ден соолукка жана учуу коопсуздугуна таасир этет.
 5. Медициналык геоэкология чойрөсүндө эпидемия шарттарында респиратордук ооруларды диагностика кылуунун натыйжалуу ыкмаларын иштеп чыгуу эпидемиологиялык абалды көзөмдөө жана божомолдоо учун өтө маанилүү болуп саналат.
 6. Космостук геоэкология чойрөсүндө геомагниттик активдүүлүкүтү жана анын космостук жана жердеги технологиялык системаларга тийзиген таасирин изилдөө, геомагниттик бороондордон келип чыгышы мүмкүн болгон бузулуларды алдын алууга жардам берет.
- Экинчи белум «Изилдөө методологиясы жана методдору» системалык талдоо методдорун татаал геоэкологиялык маселелерде колдонуу маселелерин карайт. Диссертациялык иште системалык талдоо методдору, компьютердик моделдөө, эксперименттик маалыматтарды иштетүү методдору, ошондой эле заманбап жасалма интеллект жана кросс-платформалык программалоо технологиилары колдонулган. Изилдөөнүн объектиси болуп геоэкологиялык процесстер саналат. Изилдөөнүн

предмети болуп интеллектуалдык методдор жана геоэкологиялык мониторинг каражаттары саналат.

Геоэкологиялык мониторинг системаларын маалымат-өлчөө системалары менен ЖИни интеграциялоо (2-сүр.) аркылуу өркүндөтүү сунушталат, бул аларга айланачайрөнүн өзгөрүүлөрүнө ынгайлашууга жана геосистемалардын абалын натыйжалуу көзөмдөөгө мүмкүнчүлүк берет. ЖИ чоң көлемдөгү геоэкологиялык маалыматтарды талдоого, мурунку тажрыйбага негизделеп үрөнүүгө жана келечектеги өзгөрүүлөрдү болжолдоого жардам берет. Бул мониторингди ийкемдүү жана ишенимдүү кылат. Концепциянын маңызы геоэкологиянын ар түрдүү багыттарындагы геоэкологиялык параметрлер боюнча маалыматтарды интеграциялоодо жатат, бул эмердженттик принципи колдонуу менен геоэкологиялык процесстер тууралуу сапаттуу жаңы дөнгөлдөгү жалпыланган маалыматтарды реалдуу убакыт режиминде алууга мүмкүндүк берет.



2-сүрөт – Геоэкологиялык мониторингдин интеллектуалдык системасынин блок-схемасы

Бул концепцияны колдонуу учун аппараттык жана программалык каражаттарды иштеп чыгуу талап кылынат, ошондой эле колдонуучулар жана башка системалар менен натыйжалуу өз ара аракеттешүү учун интерфейстерди түзүү зарыл. Жалпысынан, бул айланачайрөнү жана табигый ресурстарды коргоо башкаруусунда маанилүү кадам болуп саналат, ал геоэкологиялык процесстерди мониторингдөө учун жаңы системаларды түзүүгө жана мониторинг стратегияларын оптималдаштырууга жардам берет.

Үчүнчү болумдө «Сенсордук элементтерди иштеп чыгуунун интеллектуалдык ыкмасы» сенсордук технологияларга жасалма интеллектti (ЖИ) интеграциялоо заманбап мониторинг системаларынын маанилүү бөлүгү катары талкууланат. ЖИ жаңы муундагы сенсорлордун онүгүүсүне кандайча жардам берип, алардын тактыгын, ишенимдүүлүгүн жана айланачайрөнүн өзгөрүлмө шарттарына адаптациялануу жөндөмүн жакшырткандыгы көрсөтүлгөн.

Бул бөлүмдө ЖИниң сенсорлорду жана өлчөөчү жабдууларды оптималдаштыруу учун колдонулушу кенири талданат, бул маалыматтарды чогултуунун сапатын бир кыла жогорулатууга жана андан кийинки талдоонун натыйжалуулугун арттырууга мүмкүндүк берет. Сенсорлорду түзүүдө ЖИниң колдонуу боюнча мисалдар көрсөтүлгөн. Бул мисалдарда сырткы шарттардын өзгөрүшүнө жооп катары сенсорлордун параметрлерин автоматтык түрдө тууралоо аркылуу өлчөөлөрдүн тактыгын жогорулатуу мүмкүнчүлүгү көрсөтүлгөн.

Багытталган геоэкология чойрөсүндө (1-сүрөттүү караңыз) микротилкелүү антенналарды долбоорлоону оптималдаштыруу учун жасалма интеллект колдонулган метод иштелип чыккан, бул ар кандай жыштык диапазондорунда жана шарттарда антенналардын эффективдүү иштешин камсыз кылуу учун маанилүү. Долбоорлоо процесси, адатта, моделдөө жана дизайнды түзөтүүнүн көптөгөн итерацияларын камтыйт, бул убакытты жана олуттуу күч-аракетти талап кылышы мүмкүн. Салттуу ыкмалар сыноо жана каталар ыкмасына негизделет жана иштеп чыгуучунун тажрыйбасынан жана интуициясынан көз каранды. Бул процессти кымбат гана эмес, убакыт боюнча белгисиз кылат. Микротилкелүү антенналар патч деп аталган абдан ичке металл тилкесинен, ошондой эле субстрат деп аталган диэлектрик катмарынан жана "жердеги пластина" деп аталган металл негизинен турат. Электрдик мүнөздөмөлөрүн жакшыртуу учун антenna конструкциясына белгилүү бир конструктивдик параметрлерге ээ комплементардык ачык шакекче CSRR негизиндеги метаматериалдык ячайкаларды кошуу зарыл (3-сүрөт).



3-сүрөт – CSRR клетка-резонаторунун параметрлери

Эмпирикаллык эрежелерге ылайык, бул параметрлердин өзгөрүү диапазону λ_0 резонанс узундугунун функциясы катары белгиленет:

$$\begin{aligned} 0,025\lambda_0 &\leq W_m \leq \frac{\lambda_0}{4} \\ t_m &\approx 0,1W_m \\ 0,0019\lambda_0 &\leq W_{0m} \leq 0,0076\lambda_0 \\ 0,0009\lambda_0 &\leq d_m \leq 0,0057\lambda_0 \end{aligned} \quad (1)$$

Клеткалар антенналардын симметриясын эске алуу менен патчтын капталдарында жайгашкан. Мүмкүн болгон варианктардын жетиштүү санын камтуу үчүн, массивге CSRR клеткаларын жайгаштырууда колдонулган интервалдар тендемелер менен берилет:

$$\begin{aligned} g \leq X_a &\leq \left(\frac{W}{2} - \frac{W_m}{2}\right), \\ W_m \leq Y_a &\leq \left(\frac{4L}{R-1} - W_m\right), \\ R &= 3, 5, 7. \end{aligned} \quad (2)$$

Ошентип, CSRR клеткаларынын конструктивдик параметрлери тензор менен аныкталат:

$$\bar{X}_i = [W_m, W_{0m}, d_m, t_m, R, X_a, Y_a].$$

Р. Ваз тарабынан (2019-жылы) CST MWS программасында (1)-(2) формулалар менен аныкталган CSRR клеткаларынын геометриялык параметрлерин өзгөртүү үчүн жогоруда көрсөтүлген чектердин негизинде, нейрондук тармактарды окутуу үчүн ачык маалымат базасында жеткиликтүү баштапкы маалыматтардын 572 үлгүсүнүн олчому генерацияланды.

CSRR клеткалары менен микротилкелүү антенналардын электрдик параметрлерин моделдөө үчүн CST MWS программасы аркылуу төмөнкүдөй параметрлер эсептелген:

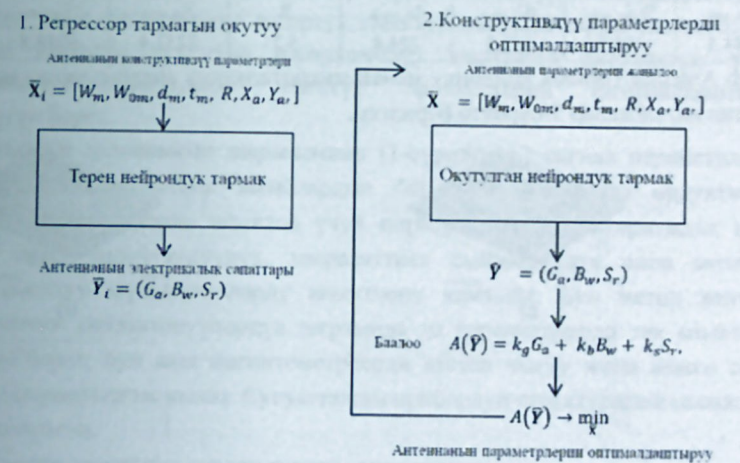
$$\bar{Y}_i = (G_a, B_w, S_r),$$

мында G_a – антеннаның күчтөүүсү дБ менен; B_w – өткөрүмдүүлүк диапазону; S_r – резонанстык жыштыктагы кайтарымдуу зыян.

CSRR клетка-резонаторлорунун параметрлерин оптималдаштыруу ыкмасы сунушталат, анын ез ара иштөөсү антеннанын жалпы иштешин оптималдуу режимде камсыз кылат жана антеннанын максималдуу изилдөө деңгээлин сактоо менен өткөрүмдүүлүк диапазонун сактайт. Сунушталган ыкма толук байланыштуу нейрон торлорунун негизинде терен тармак моделин колдонуучу регрессия моделин бириктирип, клетка-резонаторлордун оптималдуу конструктивдик параметрлерин табуу үчүн шарттуу оптималдаштыруу алгоритмине негизделген издеөнү колдонот. Бул ыкма микротилкелүү антенналарды метаматериалдарга негизделген клетка-резонаторлор менен толук автоматташтырылган түзүү процессин камсыз кылат жана CSRR клеткаларынын эн жакшы электрдик сапаттарын берген параметрлерин

табууга мүмкүндүк берет. Жалпысынан алганда, ыкма, 4-сүрөттө схематикалык түрдө көрсөтүлгөн, эки этаптан турат.

Тармак 4000 эпохада окутуулуп, эн аз катта $MAE=0.0245$ 3078-эпохада байкалган, андан кийин тармактын ашыкча окутулушу (overfitting) болгон. Акыры, тармак бардык бар болгон маалыматтар менен 3075 эпоха аркылуу окутуулуп, жыйынтыктагы тесттик маалыматтарда катта орточо эсеп менен 3% катары эсептелет.



4-сүрөт – Микротилкелүү антеннанын CSRR клеткаларынын оптималдуу конструкциясын издеөө схемасы

CSRR клеткаларынын оптимальдуу конструкциялык параметрлерин аныктоо үчүн оптимизацияланган функцияны аныктоо сунушталат:

$$A(\bar{Y}) = k_g G_a + k_b B_w + k_s S_r,$$

мында k_g, k_b, k_s – ар бир параметрдин оптимизацияланган функцияга салымын чагылдырган салмак коэффициенттер.

Ошондо оптимизация маселеси төмөнкүдөй жазылышы мүмкүн:

$$A(\bar{Y}) \rightarrow \min_{\bar{X}}, \quad (3)$$

анткени \bar{Y} га туура келген \bar{X} ти түздөн-түз эсептөө мүмкүн эмес, аларды баалоо үчүн, жогоруда сунушталгандай, окутуулган нейрондук тармак колдонулат:

$$\bar{Y} = DNN(\bar{X}).$$

I-таблицада (3) оптимизациялык маселе COBYLA методу менен геометриялык жактан кошумча чектөөлөр менен:

$$\bar{X}_i > 0, i = 1, 2, 3, \dots, 7,$$

$$R < 8.0,$$

$$R(W_m + X_a) < L_g,$$

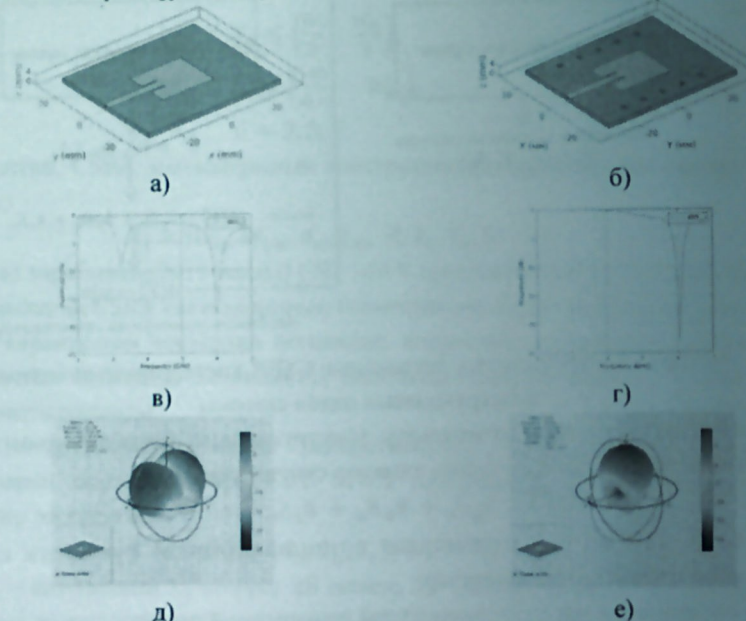
жана (2) шарттан салмак коэффициенттеринин маанилери $k_g = -0.1, k_b = -0.1, k_s = 1$ болгондо чыгарылганда алынган CSRR клеткаларынын параметрлери көрсөтүлгөн.

Демек, оптимизациядан кийинки максат - резонансстык жыштыктагы кайтарымдуу зындын минималдуу маанисine жетүү, ошол эле учурда CSRR клеткаларынын резонансстык жыштыктары патчтын микротилкелүү антеннасынын бирден бир резонансстык жыштыктарына дал келиши керек. Башка электрдик параметрлери начарлабашы учун, башка салмактардын терс маанилери болушу керек.

1 Таблица – CSRR клеткаларынын оптимальдуу конструкциялык параметрлери

W _m , мкм	W _{0m} , мкм	d _m , мкм	t _m , мкм	R	X _a , мкм	Y _a , мкм	S _r
2244.4	295.8	743.5	224.4	5.2	8731.4	6948.8	-25.4

Matlab Antenna Toolbox колдонуу менен микротилкелүү антенналарды моделдоодөн алынган натыйжалар 5-сүрөттө берилген.



5- сүрөт– Микротилкелүү антеннанын жана CSRR клеткалары менен антеннанын электрдик сапаттары: а), б) – тышкы көрүнүш; в), г) – S₁₁ кайтарымдуу зыян ийриси; д), е) – бағыттама диаграммасы

1-7 ГГц диапазонундагы S₁₁ кайтарым жоготууларынын ийриси жана 6 ГГц резонанстуу жыштыгындагы антенналардын бағыттама диаграммалары көрсөтүлгөн. Микротилкелүү антеннанын электрдик мүнөздөмөлөрүндөгү жакшыртуулар CSRR-клеткасынын структурасын колдонуу менен тушундурулшүү мүмкүн, ал эки шакекче ортосундагы сыйымдуулукту жана алардын индуктивдүүлүгүн айкалыштырат. Бул фазалык айырмачылыктарга жараша баштапкы электромагниттик талааны күчтөтүүчү же карши турган экинчилик электромагниттик талаанын пайда болушуна алып келет. CSRR менен антеннанын резонанстуу жыштыгы классикалык резонаторлорго салыштырмалуу шакекчелердин ортосунда чоң бөлүштүрүлгөн сыйымдуулук менен

бир топ төмөн. Бул сандык моделдештириүү менен ырасталган жогорку натыйжалуулугу менен компакттуу антенналарды түзүүгө мүмкүнчүлүк берет.

Төртүнчү болум «Сигналдын маалымат параметрлерин идентификациялоонун интеллектуалдык ыкмалары» сигналдарды иштетүү жана тазалоо процессин автоматташтыруу үчүн ЖИ колдонуу артыкчылыктарын талкуулат, бул алардын сапатын жакшыртат жана андан аркы анализди жөнөкөйлөтөт. Бул аракет тоскоолдуктарды кетирүү, нормалдаштыруу, интерполяция жана сигналдарды өзгөртүү сыйктуу операцияларды камтыйт. ЖИ сигналдарды иштетүү тутумуна өзгөрүлмөлүү шарттарга автоматтык түрдө адаптацияланып, сигналдарды иштетүү процесстерин оптимальдаштыруу мүмкүнчүлүгүн берет.

Ондуруштук геоэкология тармагында (1-сүрөттү к.) сигнал параметрлерин аныктоодогу интеллектуалдык ыкмалардын бир мисалы катары индуктивдүү датчиктердин параметрлерин аныктоо үчүн иштелип чыккан алгоритмдик ыкма келет. Бул ыкма индуктивдүүлүк, «паразиттик» сыйымдуулук жана активдүү каршилык сыйктуу мүнөздөмөлөрдүү аныктоону камтыйт. Бул метод жогорку электромагниттик кийлигишүүлөрдүн шартында да параметрлерди так аныктоого мүмкүнчүлүк берет, бул аны магнитометрлерди иштеп чыгуу жана жөнгө салуу процессинде алмаштыргыс кылат. Сунушталган прибордун структуралык схемасы 6-сүрөттө көрсөтүлгөн.

Индуктивдик сенсордун курчап турган каршилыгы:

$$Z_x = R_0(U_{zx} - U_{R0}) / U_{R0}. \quad (4)$$

U_{zx} чыналуусу ЦАП түзмөгү тарабынан синхрондуу циклдик чыгаруу режиминде, 1МГц чечимдүүлүк жыштыгы менен генерацияланат, анын амплитудасы, жыштыгы жана фазасы программалык жол менен аныкталат:

$$U_{zx}(t) = A \sin(2\pi\nu t + \varphi). \quad (5)$$

мында A – амплитуда, ν – жыштык, жана φ – U_{zx} фазасы, $n=0, \Delta, 2\Delta, 3\Delta, \dots, n\Delta$ бул Δ АЦПнын белгилүү жыштыгы, i=1, 2, ..., n – U_{zx} өлчөөлөрдүн саны.

U_{R0} чыналуунун АЦП жардамы менен өлчөнгөн, амплитуданы жана фазаны аныктоо маселеси пайда болот, аны модель түрүндө берүүгө болот:

$$\hat{U}_{R0}(t) = \hat{A} \sin(2\pi\nu t + \hat{\varphi}). \quad (6)$$

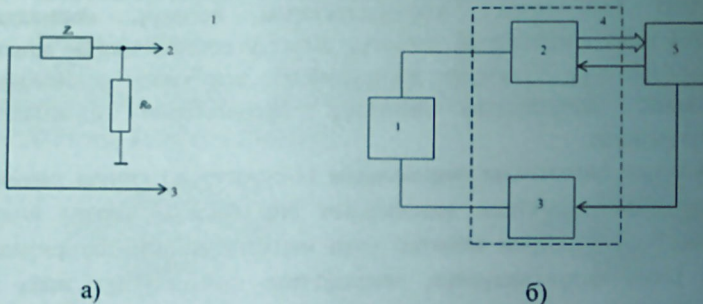
А̂ – амплитуда, ν – жыштык, жана φ̂ – U_{R0} чыналуу фазасы

Моделдин орточо квадраттык катасы:

$$\Lambda_i = \frac{1}{2} (U_{R0,i} - \hat{U}_{R0,i})^2 = \frac{1}{2} \lambda_i^2. \quad (7)$$

$i=1, 2, \dots, n$ – өлчөөлөрдүн саны. Бул учурда АЦП маалымат топтоо түзмөгү менен өлчөнет. \hat{A} жана $\hat{\phi}$ мүмкүн болушунча кичине катта (7) менен табуу үчүн жалпы орточо квадраттык катасын аныктоо керек:

$$\Omega_n = \frac{1}{n} \sum_{i=1}^n \Lambda_i = \frac{1}{2n} \sum_{i=1}^n \lambda_i^2 = \frac{1}{2n} \sum_{i=1}^n (U_{R0,i} - \hat{U}_{R0,i})^2 \quad (8)$$



6 сүрөт – Индукциялык сенсорлордун параметрлерин өлчөөнүн Л Кард E502 маалымат топтоо түзмөгүнүн базасындагы ишке ашырылышы: а – принципиалдык схема, б-структуралык схема, 1-сенсор, 2– АЦП, 3 – ЦАП, 4 – Л Кард E502, 5 – жеке компьютер.

Анда чыңалуунун амплитудасын жана фазасын аныктоо маселеси төмөнкүчө жазылат:

$$\Omega_n \rightarrow \min_w \quad (9)$$

$w = \{\hat{A}, \hat{\phi}\}$ – (6) моделдин параметрлерин жана бул көп өлчөмдүү оптимизация маселеси болуп саналат, анда моделдин параметрлерин итерациялык формула менен табылат:

$$w_{k+1} = w_k + \alpha_k p_k, \quad (10)$$

w_k – мурунку итерациядагы моделдин параметрлери, w_{k+1} – жаңыланган моделдин параметрлери, α_k – кадам узундугу, B_k – Гессиананын болжолдуу мааниси. a_k , B_k параметрлерин ар бир k -итерацияда Брайден-Флетчер-Гольдфарб-Шанно ыкмасы менен табылат. (10) формуласын колдонуу үчүн жалпы орточо квадраттык катасынын жеке туундулары:

$$\begin{aligned} \frac{\partial \Omega}{\partial w_j} &= \frac{1}{2n} \sum_{i=1}^n \frac{\partial \Lambda_i}{\partial w_j} = \frac{1}{2n} \sum_{i=1}^n \frac{\partial \Lambda_i}{\partial \hat{U}_{R0,i}} \frac{\partial \hat{U}_{R0,i}}{\partial w_j} = \\ &= \frac{1}{n} \sum_{i=1}^n - (U_{R0,i} - \hat{U}_{R0,i}) \frac{\partial \hat{U}_{R0,i}}{\partial w_j} = \frac{1}{n} \sum_{i=1}^n - \lambda_i \frac{\partial \hat{U}_{R0,i}}{\partial w_j} \end{aligned} \quad (11)$$

Амплитуда жана фаза боюнча жеке туунду:

$$\begin{aligned} \frac{\partial \hat{U}_{R0,i}}{\partial \hat{A}} &= \sin(2\pi\omega_i + \hat{\phi}), \\ \frac{\partial \hat{U}_{R0,i}}{\partial \hat{\phi}} &= \hat{A} \cos(2\pi\omega_i + \hat{\phi}). \end{aligned}$$

Ошентип, каалаган в жыштык үчүн тиешелүү Z_x мааниси табылышы мүмкүн. Жыштык программалык жол менен женил белгиленет, анткени U_{Zx} УАЖ түзмөгү менен генерацияланат.

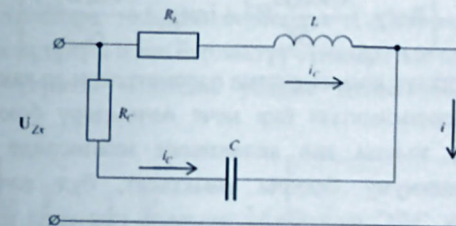
Көрсөтүлгөн моделдин курчап турган каршылығы 7-сүрөттө көрсөтүлгөн:

$$\hat{Z}_x(\omega) = \frac{(i\omega L + R_L) \left(\frac{1}{i\omega C} + R_C \right)}{i\omega L + R_L + \frac{1}{i\omega C} + R_C} = \text{Re}(\hat{Z}_x(\omega)) + j \times \text{Im}(\hat{Z}_x(\omega)), \quad (12)$$

$$\text{Re}(\hat{Z}_x) = \frac{(C^2 L^2 R_C) \omega^4 + (C^2 R_C^2 R_L + C^2 R_C R_L^2) \omega^3 + R_L}{(C^2 L^2) \omega^4 + (C^2 R_C^2 + 2C^2 R_C R_L + C^2 R_L^2 - 2LC) \omega^2 + 1}$$

$$\text{Im}(\hat{Z}_x) = \frac{(C^2 L R_C^2 - CL^2) \omega^3 + (L - CR_L^2) \omega}{(C^2 L^2) \omega^4 + (C^2 R_C^2 + 2C^2 R_C R_L + C^2 R_L^2 - 2LC) \omega^2 + 1},$$

бул жерде $\omega = 2\pi\nu$.



7 сүрөт – Индуктивдик компоненттин толук алмаштыруу схемасы
Моделдин орточо квадраттык катасы:

$$\begin{aligned} \Xi_s &= \frac{1}{2} \left[\left[\text{Re}(Z_{x,s}) - \text{Re}(\hat{Z}_{x,s}) \right]^2 + \left[\text{Im}(Z_{x,s}) - \text{Im}(\hat{Z}_{x,s}) \right]^2 \right] = \\ &= \frac{1}{2} (\text{Re}(\chi_s)^2 + \text{Im}(\chi_s)^2) \end{aligned} \quad (13)$$

$s=1, 2, \dots, m$ – Z_x өлчөмдөрүнүн ар кандай v_s жыштыктарындагы саны. Жалпы катта:

$$\begin{aligned} \Psi_m &= \frac{1}{m} \sum_{s=1}^m \Xi_s = \frac{1}{2m} \sum_{s=1}^m \left(\text{Re}(\xi_s)^2 + \text{Im}(\xi_s)^2 \right) = \\ &= \frac{1}{2m} \sum_{s=1}^m \left[\left[\text{Re}(Z_{x,s}) - \text{Re}(\hat{Z}_{x,s}) \right]^2 + \left[\text{Im}(Z_{x,s}) - \text{Im}(\hat{Z}_{x,s}) \right]^2 \right]. \end{aligned} \quad (14)$$

Андан кийин индуктивдик компоненттин параметрлерин аныктоо маселеси төмөнкүчө жазылат:

$$\Psi_m \rightarrow \min_{\zeta} \quad (15)$$

бул жерде $\zeta = \{L, C, R_c, R_l\}$ – (12) моделдин параметрлери, жана бул да көп өлчөмдүү оптимизация маселеси болуп саналат, анда моделдин параметрлери ошол эле итерациялык формула менен табылат:

$$\zeta_{k+1} = \zeta_k + \alpha_k \rho_k, \quad (16)$$

(10) формуласына окошош, бул жерде ζ_k – мурунку итерациядагы моделдин параметрлери, ζ_{k+1} – жаңыланган моделдин параметрлери, α_k – кадам узундугу,

$\rho_k = -B_k^{-1} \frac{\partial \Psi_m}{\partial \zeta_k}$, B_k – Гессиананын болжолдуу мааниси. α_k , B_k параметрлери ар бир k -

итерацияда Брайден-Флетчер-Гольдфарб-Шанно ыкмасы менен табылат. (16) формуласын колдонууда жалпы ортоочо квадраттык катасынын жеке туундулары:

$$\begin{aligned} \frac{\partial \Psi_m}{\partial \zeta_i} &= \frac{1}{2m} \sum_{s=1}^m \frac{\partial \Psi_s}{\partial \zeta_i} = \frac{1}{2m} \sum_{s=1}^m \left(\frac{\partial \Xi_s}{\partial \text{Re}(\hat{Z}_{x,s})} \frac{\partial \text{Re}(\hat{Z}_{x,s})}{\partial \zeta_i} + \frac{\partial \Xi_s}{\partial \text{Im}(\hat{Z}_{x,s})} \frac{\partial \text{Im}(\hat{Z}_{x,s})}{\partial \zeta_i} \right) = \\ &= \frac{1}{m} \sum_{s=1}^m - \left[\left(\text{Re}(Z_{x,s}) - \text{Re}(\hat{Z}_{x,s}) \right) \frac{\partial \text{Re}(\hat{Z}_{x,s})}{\partial \zeta_i} + \left(\text{Im}(Z_{x,s}) - \text{Im}(\hat{Z}_{x,s}) \right) \frac{\partial \text{Im}(\hat{Z}_{x,s})}{\partial \zeta_i} \right] = \\ &= \frac{1}{m} \sum_{s=1}^m - \left(\text{Re}(\chi_s) \frac{\partial \text{Re}(\hat{Z}_{x,s})}{\partial \zeta_i} + \text{Im}(\chi_s) \frac{\partial \text{Im}(\hat{Z}_{x,s})}{\partial \zeta_i} \right) \end{aligned} \quad (17)$$

Ошентип, индуктивдүү компоненттин параметрлери ар кандай жыштыктардагы толук комплекстуу каршылыктын бир нече өлчөмдерүү боюнча эсептелет жана өлченгөн маанилерге мыкты дал келишинин мааницинде жалпы квадраттык айырмачылыктын минимуму боюнча аныкталат, бул өлченгөн индуктивдүү компонентте кокустук ЭДС чачырандыларынын таасирин жоюуга мүмкүнчүлүк берет. (10) – формула менен эсептелген реалдуу магнитометринин индуктивдүү компоненттин параметрлери төмөнкүлөр: $C = 1,18126 \cdot 10^{-10} \Phi$, $L = 0,618958 \text{ Гн}$, $R_c = 8.2737 \text{ Ом}$, $R_l = 1415,52 \text{ Ом}$. B7-22A вольтметри менен өлченгөн активдүү каршылык $R_l = 1381 \text{ Ом}$, демек, катта чекити 2,5% ашпайт.

Индуктивдүү компоненттин параметрлерин дагы тықыр аныктоо үчүн окутуулган нейрондук тармакты колдонсо болот. Нейрондук тармакты окутуу үчүн колдонулган баштапкы маалыматтар моделдин жардамы аркылуу (к. 7-сүр.) (12)-формулалын колдонуп түзүлгөн, бул учурда моделдик индуктивдик сенсордун параметрлери реалдуу индукциялык магнитометрлердин сенсорлорунун параметрлерине жакын диапазондордон тандоо менен берилген.

$$\begin{aligned} 100 \times 10^{-3} \text{ Гн} &\leq L < 1000 \times 10^{-3} \text{ Гн}, \\ 1 \times 10^{-9} \Phi &\leq C < 100 \times 10^{-9} \Phi, \end{aligned} \quad (18)$$

$$100 \times 10^0 \text{ Ом} \leq R_l < 10 \times 10^3 \text{ Ом},$$

$$0 \text{ Ом} \leq R_c < 1000 \text{ Ом}.$$

Индуктивдик сенсордун толук курчап турган каршылыгы Z_X (4) формуласы боюнча эсептелди, ошондой эле үлгүлүк резистор R_θ үчүн курчап турган күч (6-сүр. кар.) формуласы боюнча эсептелди:

$$U_{R\theta} = \frac{R_\theta U_{Z_X}}{Z_X}, \quad (19)$$

бул жерде $R_\theta = 10 \cdot 10^3 \text{ Ом}$, ал эми $U_{Z_X} = 10 \text{ В}$, жана убакыт тизмеги төмөнкүдөй түзүлгөн:

$$\begin{aligned} U_{R\theta,i}(t) &= A \cos(2\pi f_i t + \varphi) + 0.01 \times A \times \varepsilon + 0.5 \times U_{Z_X} \times \\ &\quad \cos(\omega_1 t) + 0.5 \times U_{Z_X} \times \cos(\omega_2 t) + \\ &\quad + 0.5 \times U_{Z_X} \times \cos(\omega_3 t), \end{aligned} \quad (20)$$

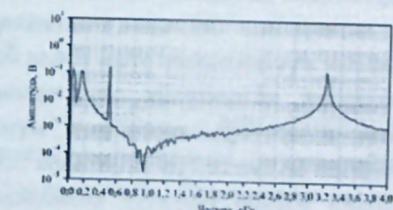
мында $A = |\mathbf{U}_{R\theta}|$ – амплитуда жана $\varphi = \text{angle}(\mathbf{U}_{R\theta})$ – $\mathbf{U}_{R\theta}$ күчүнүн фазасы, $t = 0, \Delta, 2\Delta, 3\Delta, \dots, (N-1)\Delta$, $\Delta = 1/1 \text{ МГц}$, f_i – жыштык, $1 \text{ Гц} \leq f < 1 \times 10^5 \text{ Гц}$, $N = 4000$, $\omega_1 = 2\pi 50$, $\omega_2 = 2\pi 150$, $\omega_3 = 2\pi 500$, $i = 1, 2, 3, \dots, 32$.

Ошентип, ар бир индуктивдик сенсордун параметрлери үчүн 32 убакыт тизмеги, N узундугу 4000 болгон, 1ден 10^5 Гц-ке чейинки диапазондо төн бөлүштүрүлгөн 32 жыштык үчүн түзүлгөн. (4) формуласында ақыркы төрт кошулууучу кошумча түрткүлөрдү билдириет, алардын үчөөнүн жыштыктары чыныгы магнитометрдин сигналынын спектралдык анализинен алынган.

Эсептөөлөрдөгү моделдик тескери тоскоолдук ε – нормалдуу тараалуу менен, нөлдүк математикалык күтүлүш жана бирдиктүү стандарттык четтөө менен сан. 3226 Гц жыштыгы үчүн түзүлгөн моделдик убакыт тизмегинин мисалы 8-сүрттөө көрсөтүлгөн.



a)



b)

8- сүрөт – $\mathbf{U}_{R\theta}$ чыңалуунун моделдик убакыт тизмегинин мисалы, $f_i = 3226$ Гцде, жана анын спектри (б)

Ошентип, нейрондук тармакты окутуу үчүн бир үлгү 32 убакыт тизмегинен турат, ар бири 4000 узундук менен, булар 32 ар кандай жыштыктарда R_θ үлгүлүк резисторундагы чыңалууларды көрсөтөт. Тармактын чыгышында индуктивдик сенсордун L , C , R_l , R_c параметрлери алынышы керек, алар (20) формуласындағы берилген чектерден Одон 1ге чейинки интервалга нормалдаштырылыши керек. Маалыматтар динамикалык түрдө түзүлгөндүктөн, үлгүлөрдүн саны чектелбейт,

маалыматтарды окутуу жана сыноо үлгүлөрүнө бөлүү зарыл эмес. Нейрондук тармак окутуу процессинде $U'_{R0,i}(t)$ убакыт тизмектерин L , C , R_b , R_c параметрлерин менен шайкештештируүнү үйрөнүшү керек. Ошондой эле 32 сунушталган убакыт тизмегинен, алардын ичинен индуктивдик сенсордун параметрлеринин өзгөрүүсү $U'_{R0,i}(t)$ тизмегинин сапатына эң чоң таасирин тийгизген жыштыктарда түзүлгөн тизмектерди аныктоо керек. $U_{R0,i}(t)$ убакыт тизмектеринин амплитудасын жана фазасын ажыратуу үчүн, L , C , R_b , R_c параметрлерин аныктоо зарыл болгондо, бир өлчөмдүү свертоочу нейрондук тармак (1D CNN) колдонулган. Маалыматтардын жергилүктүү жана ар кандай масштабдагы көз карандылыктарын аныктоо үчүн бул тармак абдан натыйжалуу болгону белгилүү. 1D CNN, бардык свертоочу тармактар сыйктуу эле, киргизүү катмары, бир нече жашыруун катмарлар жана чыгуу катмарынан турат. Моделдик маалыматтардагы орточо абсолюттук ката 1,43% түздү, бул Брайден-Флетчер-Гольдфарб-Шанно оптимизация алгоритмине негизделген жогоруда сүрөттөлгөн ыкмадагы катага караганда эки ээз аз, жана чындыгында модельдик убакыт (20) тизмегинин тескери бөлүгүнүн чондугуна жакындайт.

Нейрондук тармакты колдонуунун артыкчылыгы, окутулган нейрондук тармак көп өлчөмдүү оптимизация алгоритминен кыйла тез иштейт, бул көптөгөн жыштыктарды колдонууга жана алардын ичинен эң маанилүүлөрүн тандоо мүмкүнчүлүгүн берет, бул тактыктын жогорулаши менен түшүндүрүлөт.

Азыркы учурда бул маанилер төмөнкүдөй: $L = 0.361 \text{ Гн}$, $C = 36.6 \text{ нФ}$, $R_b = 4.40 \text{ кОм}$, $R_c = 592 \text{ Ом}$. Беш жыл мурун сенсордун параметрлеринин маанилери $L = 0.372 \text{ Гн}$, $C = 39.8 \text{ нФ}$, $R_b = 4.54 \text{ кОм}$, $R_c = 606 \text{ Ом}$ болгон. Эн көп проценттик өзгөрүү, башка параметрлердин өзгөрүүсү 2-3% түзгөндө, ортодогу маалыматтык сыйымдуулук С параметри 8%-га өзгөргөн, бул өлчөө методунун каталарына жакын.

Индуктивдик датчиктин оромдор аралык сыйымдуулугунун азайышы, анын изоляция катмарынын химиялык реакциялардан, температуралын термелүүлөрүнөн же физикалык жүктөмдөрдөн улам пайды болгон жаракалардын пайды болушу жана материалдардын диэлектрик сапаттарынын начарлашы аркылуу изоляциянын сапатынын өзгөрүүсүн көрсөтүшү мүмкүн. Бул изоляциянын сапатындагы өзгөрүүлөр датчиктин сезгичтегин жана тактыгын азайышы мүмкүн. Ошондуктан, датчиктердин абалын туруктуу көзөмөлдөө жана мүмкүн болгон өзгөрүүлөрдүүтүнде аныктоо жана компенсациялоо үчүн маанилүү, бул аппараттардын узак убагында аныктоо жана алардын иштешинин жогорку тактыгын камсыз кылат.

Бешинчи белүм «Геоэкологиялык процесстердин мониторингинин маалыматтарын иштетүүдөгү интеллектуалдык ыкмалар» геоэкологиялык процесстердин мониторингинин маалыматтарын анализдөө үчүн интеллектуалдык ыкмаларды колдонуу маселелерин карайт. ЖИ колдонулушу геоэкологиялык маалыматтарды иштетүүнүн ылдамдыгын жана тактыгын олуттуу түрдө жогорулатат, бул экологиялык өзгөрүүлөрдүү так аныктоого жана алдын ала жогорулатат, бул экологиялык өзгөрүүлөрдүү так аныктоого жана алдын ала иштетүүнүн болжолдоого салым кошот. Сунушталган маалыматтардын алдын ала иштетүүнүн

натыйжалуулугун жогорулатууда сунушталган сунуштамалардын интеграциясы көрсөтүлөт. Маалыматтарды азыркы интеллектуалдык мамилелер менен жүргүзүлүүчү тазалоо, нормалдаштыруу, интерполяциялоо жана фильтрациялоо методдорун колдонуу аналитикалык изилдөөгө даярдоодо маанилүү роль ойнойт. Маалыматтарды нормалдаштыруунун маанилүүлүгү ар кандай машиналык окутуу алгоритмдеринин талаптарына маалыматтарды ылайыкташтыруу контекстинде белгиленет. Ошондой эле геоэкология сыйктуу бир нече тармактарда болжолдоонун маанилүүлүгүн эске алуу менен, убакыт серияларын иштетүүнүн азыркы интеллектуалдык ыкмалары сүрөттөлөт. Убакыт сериялары белгилүү аралыктар менен жазылган параметрлердин катарлары болуп саналат. Аларды анализдөө жана болжолдо милдети машиналык окутуу жана ЖИ методдорунун өнүгүшү менен тыгыз байланышкан. Мисалы, бул максаттар үчүн вейвлет-тармактар колдонулушу мүмкүн. Мультивейвлет тармагынын чыгышы төмөнкү формула менен аныкталат:

$$\hat{y}(\mathbf{x}) = g_\lambda(\mathbf{x}; \mathbf{w}) = w_{\lambda+1}^{[2]} + \sum_{j=1}^{\lambda} w_j^{[2]} \cdot \Psi_j(\mathbf{x}) + \sum_{i=1}^m w_i^{[0]} \cdot x_i \quad (21)$$

мында $\Psi_j(\mathbf{x}) - m$ векторлуу вейвлеттердин өндүрүмү катары аныкталган көп өлчөмдүү вейвлет, \mathbf{x} – киргизүү маалыматтарынын вектору, m – киргизүүлөрдүн саны, λ – жашыруун вейвлет-нейрондордун саны жана \mathbf{w} – тармактын параметрлери: $w_{\lambda+1}^{[2]}$ – жылышуу салмагы, $w_i^{[0]}$ – сыйктуу байланыштардын салмактары, $w_j^{[2]}$ – сыйктуу эмес байланыштардын салмактары. Көп өлчөмдүү вейвлет (21) формуласында төмөнкүдөй эсептөлөт

$$\Psi_j(\mathbf{x}) = \prod_{i=1}^m \psi(z_{ij}) \quad (22)$$

мында ψ – энелик вейвлет, жана

$$z_{ij} = \frac{x_i - w_{(\zeta)ij}^{[1]}}{w_{(\zeta)ij}^{[1]}} \quad (23)$$

(23) тенденсийнде $i=1, \dots, m$, $j=1, \dots, \lambda+1$, $w_{(\zeta)ij}^{[1]}$ – вейвлеттердин жылуу параметрлери, $w_{(\zeta)ij}^{[1]}$ – вейвлеттердин масштаб параметрлери. Энелик вейвлеттин тандосу чыгарылуучу маселеге жараша болот, мисалы, Гауссиандын биринчи же экинчи туундулары, Морле вейвлети, ортогоналдуу вейвлеттер жана вейвлет-фреймдер: Гауссиандын биринчи туундусу, башкача айтканда, "WAVE-вейвлет":

$$\psi(z_{ij}) = z_{ij} e^{-0.5 z_{ij}^2} \quad (24)$$

Гауссиандын экинчи туундусу, башкача айтканда, "Мексикалык шляпа":

$$\psi(z_{ij}) = (1 - z_{ij}^2) e^{-0.5 z_{ij}^2} \quad (25)$$

же Морле вейвлети:

$$\psi(z_{ij}) = \cos(5z_{ij})e^{-0.5z_{ij}^2} \quad (26)$$

Мультивейвлеттік адаптивдүй тармакта (9-сүрөт) кошумча настройкалануучу параметри бар, вейвлеттін формасын кысуудан жана жылуудан айырмаланған ықмада өзгөртүүчү энелик вейвлеттер колдонулат. Мисалы, Superposed LOGistic functions, «суперпозициялык логистикалык функциялар» деп аталған адаптивдик энелик вейвлет, SLOG катары белгилүү, колдонулушу мұмкүн:

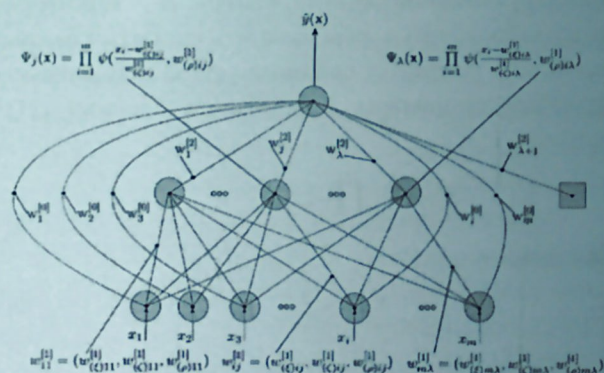
$$\psi(z_{ij}, w_{(\rho)ij}^{[1]}) = \frac{1}{1+e^{-z_{ij}+w_{(\rho)ij}^{[1]}}} - \frac{1}{1+e^{-z_{ij}+3w_{(\rho)ij}^{[1]}}} - \frac{1}{1+e^{-z_{ij}-3w_{(\rho)ij}^{[1]}}} + \frac{1}{1+e^{-z_{ij}-w_{(\rho)ij}^{[1]}}}$$

мында $w_{(\rho)ij}^{[1]}$ – вейвлеттін формасының кошумча настройкалануучу параметри, анын өчүү ылдамдығын аныктайт.

Андан кийин (22) тәмөнкүдөй көрүнөт:

$$\Psi_j(\mathbf{x}) = \prod_{i=1}^m \psi(z_{ij}, w_{(\rho)ij}^{[1]}),$$

$$\psi(z_{ij}, w_{(\rho)ij}^{[1]}) = \frac{1}{1+e^{-z_{ij}+w_{(\rho)ij}^{[1]}}} - \frac{1}{1+e^{-z_{ij}+3w_{(\rho)ij}^{[1]}}} - \frac{1}{1+e^{-z_{ij}-3w_{(\rho)ij}^{[1]}}} + \frac{1}{1+e^{-z_{ij}-w_{(\rho)ij}^{[1]}}}$$



9-сүрөт – Мультивейвлеттік адаптивдүй тармак

Толук тармактын параметрлеринин вектору тәмөнкүдөй көрүнөт: $\mathbf{w} = (w^{[0]}, w^{[1]}, w^{[2]}, w^{[3]}, w^{[4]}, w^{[5]}, w^{[6]}, w^{[7]}, w^{[8]}, w^{[9]})$. Бул параметрлер тармакты үйрөтүү учурунда орточо квадраттык ката (MSE) минималдаштыруу аркылуу жөндөлөт:

$$E = \frac{1}{2n} \sum_{p=1}^n (y_p - \hat{y}_p)^2,$$

мында n – тармакты үйрөтүү үчүн колдонулган мисалдардын саны, y_p – тармактын талап кылышкан чыгыш мааниси, ал эми \hat{y}_p – тармактын чыныгы чыгыш мааниси. Орточо квадраттык ката тармактын параметрлери боюнча жеке туундуларды колдонуп, көп өлчөмдүй оптимизациянын итерациялык ыкмаларынын бири менен минималдаштырылат:

$$\frac{\partial E}{\partial \mathbf{w}} = -\frac{1}{n} \sum_{p=1}^n e_p \frac{\partial \hat{y}_p}{\partial \mathbf{w}},$$

мында $e_p = y_p - \hat{y}_p$. (8)-формуланы колдонуп, тармактын бардык параметрлери боюнча орточо квадраттык катаны жеке туундуларын табууга болот, атап айтканда:

$$\begin{aligned} \frac{\partial \hat{y}_p}{\partial w_{k+1}^{[2]}} &= I, \\ \frac{\partial \hat{y}_p}{\partial w_i^{[0]}} &= x_i, i = 1, \dots, m, \\ \frac{\partial \hat{y}_p}{\partial w_j^{[2]}} &= \Psi_j(\mathbf{x}), j = 1, \dots, \lambda, \\ \frac{\partial \hat{y}_p}{\partial w_{(\rho)ij}^{[1]}} &= -\frac{w_{(\rho)ij}^{[2]}}{w_{(\rho)ij}^{[1]}} \psi(z_{ij}, w_{(\rho)ij}^{[1]}) \dots \frac{\partial \psi(z_{ij}, w_{(\rho)ij}^{[1]})}{\partial w_{(\rho)ij}^{[1]}} \dots \psi(z_{mj}, w_{(\rho)ij}^{[1]}), \\ \frac{\partial \hat{y}_p}{\partial w_{(\rho)ij}^{[1]}} &= -\frac{w_{(\rho)ij}^{[2]}}{w_{(\rho)ij}^{[1]}} \psi(z_{ij}, w_{(\rho)ij}^{[1]}) \dots \frac{\partial \psi(z_{ij}, w_{(\rho)ij}^{[1]})}{\partial w_{(\rho)ij}^{[1]}} \dots \psi(z_{mj}, w_{(\rho)ij}^{[1]}), \\ \frac{\partial \hat{y}_p}{\partial w_{(\rho)ij}^{[1]}} &= z_{ij} \frac{\partial \hat{y}_p}{\partial w_{(\rho)ij}^{[1]}}. \end{aligned}$$

Айрыкча адаптивдүй SLOG вейвлети үчүн:

$$\begin{aligned} \frac{\partial \psi(z_{ij}, w_{(\rho)ij}^{[1]})}{\partial w_{(\rho)ij}^{[1]}} &= -\frac{e^{-z_{ij}+w_{(\rho)ij}^{[1]}}}{a(I+e^{-z_{ij}+w_{(\rho)ij}^{[1]}})} + \frac{e^{-z_{ij}+3w_{(\rho)ij}^{[1]}}}{a(I+e^{-z_{ij}+3w_{(\rho)ij}^{[1]}})} + \frac{e^{-z_{ij}-3w_{(\rho)ij}^{[1]}}}{a(I+e^{-z_{ij}-3w_{(\rho)ij}^{[1]}})} - \frac{e^{-z_{ij}-w_{(\rho)ij}^{[1]}}}{a(I+e^{-z_{ij}-w_{(\rho)ij}^{[1]}})}, \\ \frac{\partial \psi(z_{ij}, w_{(\rho)ij}^{[1]})}{\partial w_{(\rho)ij}^{[1]}} &= -\frac{e^{-z_{ij}+w_{(\rho)ij}^{[1]}}}{(I+e^{-z_{ij}+w_{(\rho)ij}^{[1]}})^2} + \frac{3e^{-z_{ij}+3w_{(\rho)ij}^{[1]}}}{(I+e^{-z_{ij}+3w_{(\rho)ij}^{[1]}})^2} - \frac{3e^{-z_{ij}-3w_{(\rho)ij}^{[1]}}}{(I+e^{-z_{ij}-3w_{(\rho)ij}^{[1]}})^2} + \frac{e^{-z_{ij}-w_{(\rho)ij}^{[1]}}}{(I+e^{-z_{ij}-w_{(\rho)ij}^{[1]}})^2}. \end{aligned}$$

Тармактын параметрлери ар бир итерацияда тәмөнкү формула боюнча кайра эсептелет:

$$\mathbf{w}_{v+1} = \mathbf{w}_v - \eta \frac{\partial E}{\partial \mathbf{w}_v} + \kappa (\mathbf{w}_v - \mathbf{w}_{v-1}), \quad (27)$$

мында v – итерациянын номери, η – үйрөнүү ылдамдығынын параметри жана κ – момент параметри. η жана κ параметрлеринин так маанилери көп өлчөмдүй оптимизациянын колдонулган итерациялык ыкмасына жараша болот.

Космостук геоэкология тармагында (1-сүрөттү к.), жогоруда сунушталған нейрондук тармак вариантын колдонуу менен, геомагниттик активдүүлүктүн К-индексин аныктоо ыкмасы иштелип чыккан. Бул индекс Одөн 9та чейинки логарифмдик шкала боюнча өлчөнүп, ар бир үч saatтык интервалда ар бир обсерваториядан алынган маалыматтарга негизделген геомагниттик талаанын бузулуу дөнгөлөн чагылдырат.

Индекс адаттагы күндүзгү Sq-вариациянын айырмаларына негизделген, ал күн сайын кайталануучу геомагниттик талаанын элементтеринин жумшак өзгөрүшү катары көрүнөт, ал күндүз максимумга жетет жана түнкүсүн түрүктуу бойдон калат. Sq-вариациянын маанилүүлүгү ошондой эле деңиз жана аба кемелеринин навигациясында ал GPS/GLONASS жеткиликтүү болбогон шарттарда радио жана

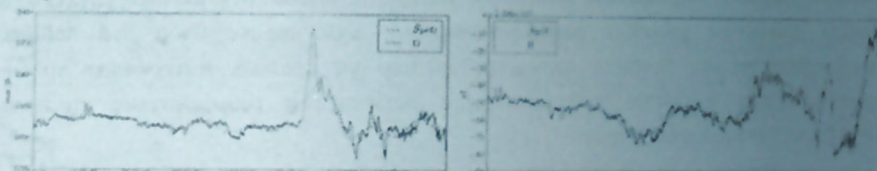
магниттик компастардын көрсөткүчтөрүн түзетүү үчүн колдонулары менен баса белгиленет.

Sq-вариацияны аппроксимациялоо үчүн заманбап ыкмалар автоматташтырылган технологияларды колдонууну камтыйт, бул магниттик вариацияларды так жана натыйжалуу анализдөөгө мүмкүндүк берет. Автоматташтыруунун артыкчылыктарына карабастан, К-индекстин так аныкталышында Sq-вариациясынын күндүзгү өзгөрүлмөлүгү менен байланышкан методологиялык көйгөйлөр бар. Sq-вариацияны моделдөө үчүн классикалык жана заманбап ыкмалар, мисалы, регрессия сзыктары, гармоникалык анализ же Новозинский алгоритми ар кандай мамилелерди жана маалыматтарды талкуулоодогу мүмкүн болгон каталарды сунушташат.

Адаптивдүү мультивейвлет-тармакты колдонуу менен К-индекстин аныкталышы төмөнкү кадамдарда көрсөтүлгөн:

1. Геомагниттик талаанын компоненттеринин елчөмдерүнүн маалыматтарын CSV форматына айландыруу.
2. Импульстук түрткүлөрдү чыпкалоо үчүн геомагниттик талаанын компоненттеринин 1-мүнөттүк медианасын бөлүп чыгаруу.
3. Геомагниттик талаанын ар бир компонентин аппроксимациялоо үчүн вейвлет-тармактарды окутуу.
4. Д жана Н компоненттери боюнча Sq-вариацияны аппроксимациялоо жана интерполяциялоо үчүн окутуулган адаптивдик вейвлет-тармактарды колдонуу.
5. Ар бир уч сааттык интервал үчүн UT убактысы боюнча D жана H компоненттери боюнча максималдуу К-индексти аныктоо.
6. Адаптивдүү мультивейвлет-тармакты колдонуу менен геомагниттик талаанын активдүүлүк индексин аныктоо.

Sq-вариациянын аппроксимациялоо ыкмасынын натыйжалуулугун текшерүү үчүн SPIDR (Space Physics Interactive Data Resource) аркылуу алынган Бельск обсерваториясынын маалыматтары колдонулган. Д жана Н компоненттери боюнча 1985-жылдын 26-28-декабрындагы минуталык орточо магниттик вариациялар колдонулган. 10-сүрөттө Морленин 22 вейвлетинен адаптивдүү мультивейвлет-тармак жардамы менен Sq-вариациянын аппроксимациясынын натыйжалары көрсөтүлгөн.



10-сүрөт – 1985-жылдын 26-28-декабрында Бельск обсерваториясында D жана Н компоненттери боюнча геомагниттик талаанын Sq-вариацияларын адаптивдүү вейвлет-тармакты колдонуп аппроксимациялоо жыйынтыктары.

Аба чойрөсүнүн динамикасы тармагында (1-сүрөттү к.) "Манас" аэропортунда көрүнүү аралыгынын болжолун изилдөө жүргүзүлгөн. Колдонулган LSTM жана GRU тармактарынын архитектурасы LSTM жана softmax активация функциясы бар толук байланышкан катмар (Dense) дан турат, бул ақыркы болжол алуу үчүн зарыл. Ошондой эле, мультивейвлеттик адаптивдүү тармакты (MWP, MultiWavelet AdaPitive) колдонууда, толук байланышканга салыштырмалуу эки эсе аз нейрон колдонулган. Алардын негизги идеясы түз байланышкан тармактардын ылдамдыгын жана женилдигин рекурренттик нейрондук тармактардын убакыттык эс тутуму менен бириктируүде.

2014-жылдан бери жеткиликтүү болгон маалыматтардын топтомуунан экспериментти жүргүзүү үчүн 2014-жылдын март айынан 2019-жылдын ноябрь айына чейинки 6 жыл жана 9 айлык катар тандалган. Бул мезгил аралыгында маалыматтар 30 мүнөттүк интервалда чогултулган, ал эми 2013-жылдын август айынан 2014-жылдын февраль айына чейинки мезгилде маалыматтар saat сайнын чогултулган. Окутуу үлгүсү 68175 эсептөө менен, тестирлөө үлгүсү – 22725, калган маалыматтар 900 эсептөө менен камсыздалган. Салаттуу бааларды камтыган маалыматтар мурда болгондой эле, алардын пайда болуу тартибинде толук сандар менен коддолгон жана андан кийин z-баалары менен нормалдаштырылган. METAR форматындағы көрүү аралыгы 57 дискреттик маанилерди кабыл алат, бул маанилер көрүү аралыгынын жогорулаши тартиби менен толук сандар менен коддолгон, ал эми тармактын катасы мультикатегориалдык кроссэнтропия H менен эсептелген. З-таблицада түрдүү архитектураларга ээ болгон окутуулган тармактардын эн аз катар функциясынын мааниси көрсөтүлгөн, алар RMSProp алгоритми менен 50 эпоха боюнча 500 кадамдан окутуулган.

2 Таблица – METAR маалыматтарын колдонуу менен жүргүзүлгөн эсептөөлөрдүн жыйынтыктары

Модель	Алдын ала божомолдоонун убактысы, с					
	0.5	1	1.5	2	2.5	3
MWP	0.4578	0.4823	0.6027	0.6245	0.6465	1.9943
MWP+GRU	0.4346	0.4561	0.4778	0.4936	0.5090	0.5110
Conv1D+GRU	0.4402	0.4571	0.4714	0.4854	0.4984	0.5036
GRU	0.4383	0.4547	0.4711	0.4831	0.4972	0.5092

Таблицадан көрүнүп тургандай, божомолдун упреждениясынын өсүшү менен катар жетишерлик тездик менен өсөт. Эгерде нейрондук тармактардын чындык иштөө ылдамдыгын салыштырсак, мультивейвлеттик адаптивдүү тармак жалпы байланыштуу тармакка караганда чамалап эки эсе төз иштейт, анткени окшош тақтыкка жетүү үчүн MWP-тармагында нейрондор эки эсе аз. MWP+GRU терен нейрондук тармагын колдонуу үстүртөн нейрондук тармакка караганда божомол катасын азайтууга мүмкүнчүлүк берет.

Өндүрүштүк геоэкология тармагында күч тилкелеринин абалын мониторингдөө маалыматтарын иштетүү боюнча интеллектуалдык подсистема иштелип чыкты, ал тармактагы электр кемчиликтерин, б.а. ток жана кубаттагы аномалдуу өзгөрүлөрдү аныктоого багытталган. Мындай кемчиликтерди убагында аныктоо жабдууларды бузулудан сактоо жана электр менен камсыздоонун ишенимдүүлүгүн камсыз кылуу үчүн маанилүү. Салттуу диагностика ыкмалары, анын ичинде визуалдык текшерүү жана инфракызыл термография кенири колдонулганы менен, узун объекттерди, мисалы, аба электр өткөргүчтөрүн көзөмөлдөө натыйжалуулугу чектелген. Альтернатива катары, электр талаасын көзөмөлдөө ыкмалары, өзгөчө чектелген разряддарды көзөмөлдөө сунушталган, ал изоляциянын деградациясынын маанилүү индикатору болуп саналат. Заманбап мониторинг ыкмалары чындал реалдуу убакыт режиминде аномалияларды аныктоо жана классификациялоо үчүн интеллектуалдык маалыматтарды анализдөөнү камтыйт, бул диагностиканын натыйжалуулугун олуттуу турдө жогорулатат жана тейлөө чыгымдарын азайтат.

Колдонулган методика 4 кезеңден турат, алардын ар бири кенири түшүндүрүлгөн:

1. Маалыматтарды алдын ала иштетүү. Башкарылуучу электр линиясында уч фазада чыңалууну өлчөөнүн натыйжалары боюнча атайын файлда түзүлгөн баштапкы маалыматтар "Нормалдуу" класска туура келген кокус үлгүлөрдү алып салуу менен жүктөлөт жана тен салмакталат, ошентип, үлгү эки класска тиешелүү үлгүлөрдүн бирдей санын камтыйт. Андан кийин үлгүлөр 400 өлчөмдөгү сегменттерге болунот жана ар бир сегмент үчүн бардык уч фазалын нормалдаштырылган чыналуу маалыматтарын камтыган өзгөчөлүктөр вектору түзүлөт, же анын жыштык компоненттери, фильтрация аркылуу түзүлөт.
2. Моделди алдын ала даярдо. Бул нейрондук тармактын оптималдуу гиперпараметрлерин (катмарлардын саны, нейрондор) аныктоо үчүн зарыл, алар жетиштүү эмес же ашыкча окутуулган тармактын ортосундагы балансты, окутуунун кабыл алынган убактысында көлөмүн сактоого мүмкүндүк берет.
3. Окутуу. Жасалма нейрон тармагы (ЖНТ) оригиналдуу жана мурда курулган функцияларды жана оптималдуу гиперпараметрлерди колдонуу менен үйретүлөт.
4. Сыноо. Андан кийин модель өндүрүмдүүлүгүн баалоо үчүн синоочу маалыматтар топтомунда текшерилет. Маалыматтар 3:1 катышында белүштүрүлөт. Чон бөлүгү нейрондук тармакты окутуу үчүн, кичирээк бөлүгү анын иштешиинин сапатын баалоо үчүн колдонулат.

Иштетүүнүн алдын ала этабында баштапкы сигналдын жогорку жана төмөнкү жыштыктык компоненттерин бөлүп чыгаруу максатында тез Фурье өзгөртүүсү (ТФӨ) колдонулган. Талап кылынган сигналдын компонентин бөлүп чыгаруу үчүн түз Фурье өзгөртүүсү жасалган, андан кийин керексиз жыштыктардын амплитудалары нөлгө тенештирилген жана кайра Фурье өзгөртүүсү жасалган.

Негизги модель үчүн киргизилүүчү маалыматтар катары баштапкы сигнал гана колдонулду, ал эми эки башка модель кошумча курулган белгилерге – ВЧ жана НЧ компоненттерине окутуулду. Бул учурда колдонулган ЖНТнын архитектурасы бирдей болуп, Conv1D жана LSTM катмарларынан турат. Нейрондук тармактар балансталган маалыматтардын бардыгынан алынган 1/3 синоочу маалыматтар топтому боюнча өздүк аткаруусун салыштыруу аркылуу бааланды, биринчи модель толук сигналга, экинчи жана үчүнчү модель ВЧ жана НЧ компоненттерине тиешелүүлүгүндө окутуулду. Баалоо көрсөткүчтөрү – тактык, ишенимдүүлүк, сөзгичтик, тактык, F1 баасы жана AUC болуп саналат.

З-таблицада 30 окутуу мезгили аркылуу ар кандай белгилерге окутуулган моделдердин баалоо жыйынтыктери көрсөтүлгөн, аларда жогоруда аталган бардык баалоо көрсөткүчтөрү боюнча нейрондук тармактын сапаты көрсөтүлгөн – тактык, сөзгичтик, атايындык, F1 баасы жана AUC.

Окутуу маалыматтары андан аркы эсептөөлөрдү процессорлордун бир нече тобунда паралель жүргүзүү үчүн ар биринде 16 үлгү бар пакеттерге белүнгөн. Окутууну көзөмөлдөө үчүн моделдин тактыгы көрсөткүчү колдонулган, ал туура классификацияланган учурлардын пайыздык көрсөткүчүн билдириет.

З таблица – Нейрондук тармактарды окутуунун 30 мезгилинде ар түрдүү белгилер боюнча окутуулгандыгынын баалоо жыйынтыктери.

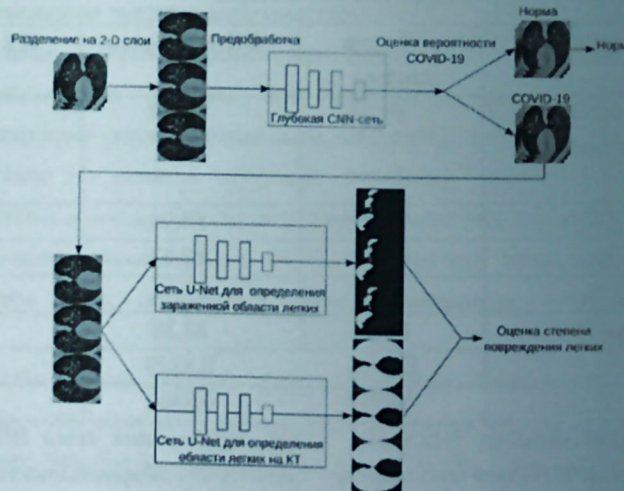
Мүнөдөмөлөр	Толук сигнал	ВЧ-компонент	НЧ-компонент
30 мезгил ичиндеги жетишкен максималдуу тактык, %	89,34	88,47	72,33
Тактык A_c , %	88,47	84,14	71,18
Сөзгичтик S_e , %	98,13	82,42	90,75
Атайындык S_p , %	80,1	85,71	51,72
Ишенимдүүлүк P_r , %	81,02	84,30	65,14
F_1 баасы	0,8876	0,8529	0,7584
AUC	0,8912	0,8561	0,7123

З-таблицадан көрүнүп тургандай, толук сигнал жана анын ВЧ-компоненти боюнча окутуулган ЖНТтын максималдуу тактыгы 1% айырмачылыкта, ал эми НЧ-компоненти боюнча окутуулган тармактын максималдуу тактыгы 17% төмөн. НЧ-компоненти боюнча окутуулган бардык көрсөткүчтер да анчалык жогору эмес.

Бул изилдөө жогорку жыштыктуу компоненттин (10-20 МГц) электр берүү сзыктарындагы чектелген разряддарды диагностикалоодугу маанисин баса белгилейт, бул кырдаалды так аныктоого жардам берет. Бул жыштык диапазону так диагностика үчүн оптималдуу деп сунушталат, анда эфирик уктуруулардан келип чыккан бузулуларды минималдаштырат, адатта жогорку жыштыктуу диапазондордо (85-110 МГц, 600-700 МГц) кездешет. HF-диапазонду колдонуу кабыл алгычтын конструкциясын жөнөкөйлөтүүгө жана арзандаттууга мүмкүндүк берет. Бул максатта иштелип чыккан жасалма интеллект тармагы диагностика тактыгын 88% дөңгөлинде көрсөттү. Бул жыйынтыктар алыссы диагностика жана чектелген разряддардын булактарын аныктоо үчүн жаны радиотехникалык шаймандарды иштеп чыгууга ебөлгө түзөт.

Медициналык геоэкология тармагында (1-сүрөттү к.) COVID-19ду ренттен сүрөттөрү аркылуу диагностикалоо үчүн жасалма интеллект тармактары (ЖИТ) иштелип чыккан, бул өпкө ооруларын диагностикалоонун ылдамдыгын, тактыгын жана ишенимдүүлүгүн жогорулатат, эрте аныктоого жана дарылоого жардам берет. Сунушталган чечим COVID-19ду жана КТ-сүрөттөрдөгү жабыркаган жана жалпы өпкө аймактарын сегментациялоо аркылуу оорунун оордугун аныктоо үчүн колдонулушу мүмкүн. Төмөндөгү 11-сүрөттө көрсөтүлгөндөй, сунушталган тармак бул функциялардын баарын аткара алат.

Өпкө ооруларын диагностикалоо үчүн алгач КТ-сүрөттөрү масштабдоо, кесүү, чагылдыруу, айлантуу жана өзгөртүү сыйктуу маалыматтарды көбөйтүү ыкмаларын колдонуу менен алдын ала иштетилет, бул ыкмалар конволюциялык нейрон тармагын үйрөтүү сапатын жакшыртат. Бул ыкмалар үйрөтүүчү маалыматтар топтомуна гана колдонулат.



11-сүрөт – COVID-19ду КТ сүрөттөрү боюнча диагностикалоо үчүн сунушталган ЖИ системасынын иштөө схемасы

"COVID-19" жана "норма" деп классификациялардын негизинде, "COVID-19" деп классификацияланган КТ-сүрөттөрү эки модификацияланган U-Net тармагы менен сегментацияланат: бири өпкөнүн зыяндуу аймактарын аныктоо үчүн, экинчиси сүрөттөгү өпкө аймагын аныктоо үчүн. Өпкөнүн зыяндуулугунун дөңгөэли КТ-сүрөттөрдүн ар бир катмарындагы зыяндуу аймактын жалпы өпкө аянына карата аяны боюнча аныкталат, андан кийин бардык катмарлар боюнча орточо маани эсептелет.

"COVID-19 CT scans" маалыматтар тобу билдилдейдө эки класс (норма жана COVID-19) боюнча классификация жана эки маркер (өпкө аймагы жана инфекция жуккан аймак) боюнча сегментация үчүн колдонулган. Бул топтом жалпы 2112 КТ-катмарларды камтыйт, алардын ичинен 1615 катмарында COVID-19дан улам зыяндар бар.

КТ-маалыматтарынын санариптик даярдыгы эки этапта жүргүзүлөт. Биринчи этапта киргизилген маалыматтардын өлчөмүн нормалдаштыруу жана сүрөттөрдүн күчтүүлүгүн түзөтүү жүргүзүлөт. Бул ар кандай жабдуулар ар кандай орнотууларга ээ болушу мүмкүн жана алардын параметрлери боюнча айырмачылыктарды бериши мүмкүн деп эсептелген КТ-кеисилгендөрди окутууну жөнөкөйлөтүү үчүн зарыл. КТ-сүрөттөрдүн чечилиши 401×630дан 630×630 чекитке чейин өзгөрүп турат, бул нейрондук тармактарды окутуу үчүн чон эсептөөлөрдү талап кылат. Бул чектөөнү жеңүү үчүн КТ-сүрөттөрдү масштабдоо зарыл. Бул үчүн өпкө сүрөттөрү бар борбордук аймакты кыркуу жана андан кийин сыйктуу эмес интерполяция ыкмасын колдонуу менен бардык сүрөттөрдүн өлчөмүн 256×256 пиксельге өзгөртүү зарыл. Андан кийин гистограмманы төндештириүү алгоритмине негизделген өзгөрүү ыкмасы колдонулган.

Экинчи этапта ЖИТтин ар кандай тоскоолдуктарга болгон ишенимдүүлүгүн жогорулаттуу үчүн көнөйтүү колдонулган, анда баштапкы өлчөмүнөн 80-120%-га чейин масштабдаштыруу, вертикалдык жана горизонталдык чагылдыруу, -40°дан 40°га чейин айландыруу, эки өлчөм боюнча 20%-га жылдыруу жана -16°дан 16°га чейинки диапазондогу перспектива бурмалоо колдонулган. Мурда айтылгандай, маалыматтарды көнөйтүү тек гана окутуу топтомунда колдонулат, бирок тест топтомунда колдонулбайт. Бул бардыгы окутуу маалыматтарынын ар түрдүүлүгүн жогорулаттуу маскатында жасалган, бул үчүн жалпы моделдин жалпылаштыруу мүмкүнчүлүгүн көнөйтүү өзгөчө маанилүү, анткени маалыматтар тобу чакан. Жалпысынан аларга тиешелүү инфекция жуккан аймактар жана өпкө аймактарынын маскалары менен биргэ 100 кабат кошумча түрдө жаратылган.

COVID-19ду КТ маалыматтары менен диагноздоо үчүн терен нейрондук тармактын архитектурасы кадимки түрдө Conv2D катмарларынын (активдештириүү функциясы ReLu) жана MaxPooling2D катмарларынын алмашуу стеки катары уюштурулган. Бирок, сунушталган архитектуралын өзгөчөлүгү - киргизилген

маалыматтарды нормалдаштырган BatchNormalization (Пакеттик Нормалдаштыруу) катмарларынын колдонулушу болуп саналат.

Зыян функциясы катары бинардык кросс-энтропия колдонулган. Оптимизатор катары өзгөрүүсүз окутуу ылдамдыгы $l=5 \cdot 10^{-4}$ болгон Adam колдонулган. Окутуу учурунда тармактын киргизүүсүнө үч өлчөмдүү КТ-сүрөттүн 2D кабаттары берилген. Бул компьютердик ресурстарды үнөмдөө жана COVID-19ду диагноздоо үчүн тармактын ашыкча окутуусун азайтуу максатында, маалыматтардын көп түрдүүлүгүн камсыз кылуу үчүн жасалган. Окутулган нейрондук тармактын иштөө сапатынын жалпы баасы үчүн, ошондой эле, тактык, ишенимдүүлүк, f_1 баасы жана ROC ийрисинин (Receiver Operating Characteristic, кабыл алгыштын иштөө характеристикасы) астындагы аякты (AUC, Area under ROC curve) сыйктуу сапат көрсөткүчтөрү колдонулган.

Төмөнде, 4-таблицада COVID-19ду диагноздоо үчүн тармактын сапаты боюнча сандык баалоолор көрсөтүлген.

4 Таблица – COVID-19ду диагноздоо үчүн тармактын сапатынын сандык баалоолору

	$\theta=0.5$	$\theta=0.19$
Тактык A_c	0.9593	0.9683
Ишенимдүүлүк R_p	0.9762	0.9784
Толуктугу, R_c	0.9704	0.9803
f_1 баасы	0.9733	0.9793
AUC	1	0.99

Шии Ван жазган башка эмгектерге (2022) салыштырмалуу, окшош дайындар жыйынтыгын колдонуу менен классификациянын тактыгын 2% га, башкача айтканда 94.52% дан 96.83% га жогорулатууга мүмкүн болду. Салыштырмалуу 9% га жогорулаштыруу кошумча коюлган нормалдаштыруу катмарлары жана маалыматтардын кошулушу менен түшүндүрүлөт. Өпкөнүн зыянга учуралган денгээлин аныктоо милдети КТ сүрөттөрүнүн катмарлары боюнча эки класста – зыянга учуралган жана ден соолугу чын аймактар боюнча семантикалык сегментация катары белгилendi. Ошондой эле, өпкөгө таандык жана ага таандык эмес аймактарга КТ катмарларын сегментациялоо милдети да чечилиши керек. Ошентип, бул милдетти чечүү үчүн эки терен нейрондук тармактарды окутуу керек – зыянга учуралган аймакты жана өпконун аймагын аныктоо үчүн өзүнчө. Окутуу учурунда үч өлчөмдүү КТ-сүрөттөрүнүн 2D катмарлары тармактарга берилди. Бул компьютердик ресурстарды үнөмдөө жана маалыматтардын диверсификациясын камсыз кылуу үчүн жасалган, ошондой эле COVID-19дун зыяндуу аймагын аныктоо үчүн тармактын ашыкча окутуусун азайтуу максатында гана чектелген сандагы зыяндуу белгилери бар эки өлчөмдүү катмарлар колдонулган. Бул терен нейрондук тармактын жалпы кабыл алынган U-Net тармагынын архитектурасынан айырмаланып, бир нече пакеттик нормалдаштыруу катмарларын (BatchNormalization) колдонот, ал өз

киргизүүлөрүн нормалдаштырат. Айтылгандай, пакеттик нормалдаштыруу 0га жакын орточо чыгууну жана 1ге жакын стандарттуу четтеөнүү сактоочу өзгөртүүнү ишке ашырат.

Жоготуу функциясы катары, биз мындай метриканы сунуштайбыз:

$$loss(y, \hat{y}) = \frac{1}{2} c(y, \hat{y}) + \frac{1}{2} (1 - s(y, \hat{y})), \quad (27)$$

мында y – 1 жана 0ден турган матрица, ал өпкөнүн зыянга учуралган жана ден соолугу чын участкаларын сүрөттөйт, \hat{y} – тармактын чыгышы, c – бинардык кросс-энтропия, ал эми s – Сёренсен метрикасы, бул максаттуу функция катары тандалган:

$$s(y, \hat{y}) = \frac{2 \sum_i^N y_i \hat{y}_i}{\sum_i^N y_i + \sum_i^N \hat{y}_i + 1}. \quad (28)$$

Бул эле дайындар жыйынтыгы башка иштерде да колдонулган (Ван Шии 2022), ал эми биздин иштеги терен нейрондук тармактын тактыгы алардыкынан жогору, $s = 0.87$ бизде, ал эми аларда болсо 0.78. 9% жакшыртуу кошумча нормалдаштыруу катмарлары жана маалыматтардын кошулушу, ошондой эле тандап алынган жоготуу функциясы менен түшүндүрүлөт.

Ошентип, бир тармак КТ-снимкадагы өпкөнүн зыянга учуралган аймактарын аныктайт, ал эми экинчи тармак – сүрөттүн өпкөгө таандык аймагын аныктайт. 13-жана 15-сүрөттөрдө көрсөтүлгөндөй, дарыгерлер аныктаган жана нейрондук тармак курган инфекция жүккан аймактардын жана өпкө аймактарынын маскалары визуальдык жактан дээрлик дал келишет. Бул жыйынтык, КТ-сүрөттердү алууда ар кандай жабдуулар колдонулгандыктан келип чыккан киргизүүлөрдөн улам, нейрондук тармактын сөзгичтегин төмөндөтүү менен жетишилген. Андан кийин өпкөнүн зыянга учуралган аймагынын аякты, срездеги өпкө аяктына карата аныкталат. Өпкөнүн зыянга учуралган аяктынын ақыркы денгээли бардык срездер боюнча зыянга учуралган аянттын орточо мааниси катары аныкталат.

Алтынчы болум «Геоэкологиялык процесстерди мониторингдөө системаларынын программалык интерфейстерин иштеп чыгуу» интерфейс жыйынтыктоочу системаларынын компоненттеринин натыйжалуу интеграциясын жана өз ара аракеттенүүсүн камсыздоодогу маанилүү болгон маалыматтарды чогултуудан баштап, алардын көрсөтүлүшүнө жана башка системалар менен өз ара аракеттенүүгө чейинки ролун карайт. Кросс-платформалык архитектураны иштеп чыгуу жана аны ар кандай түзүлүштөр жана кызматтар, анын ичинде картографиялык кызматтар жана GPS менен интеграциялоо өзгөчө маанигээ зээ. Интерфейс жыйынтыктоочу системаларынын мониторинг системаларынын ишинин натыйжалуулугун жогорулатуудагы салымы талданат, бул маалыматтарды иштетүүнү, түзүлүштөрдү башкарууну жана колдонуучулар менен өз ара аракеттенүүнү камтыйт. Мындай жыйынтыктоочу системалар маалыматтарды чогултуунун жана талдоонун тактыгы менен ишенимдүүлүгүн жогорулатып гана тим болбостон, колдонуучунун тажрыйбасын жакшыртып, ар кандай колдонуучулардын муктаждыктары үчүн күчтүү жана адаптивдүү инструменттерди камсыз кылат.

Өндүрүштүк геоэкология тармагында (1-сүрөттү к.) индуктивдүү сенсорлордун параметрлерин өлчөө үчүн программалык компонент иштелип чыккан. Индуктивдүү сенсор компоненттери менен иштөө үчүн ЛКАРД Е502 маалыматтарды чогултуу түзүлүшү аркылуу иштеген программалык архитектура түзүлдү. Программалык чечимдердин кросс-платформалык функционалдуулугун камсыз кылууга өзгөчө көнүл буруулуп, аларды Windows, Linux жана Android сыйктуу ар түрдүү операциондук системаларда модификациясыз колдонууга мүмкүндүк берет. Бул иштелип чыккан программалык каражаттардын универсалдуулугун жана адаптациялануучулугун белгилейт, бул алардын ар түрдүү маалыматтык системаларга кенири интеграцияланышына көмөктөшөт.

Архитектура негизги кодду жана платформадан көз каранды бөлүкту бөлүп турат, бул ар кандай операциондук системаларга ылайыкташтырууну жөнөкөйлөтөт. Маалыматтарды чогултуу түзүлүшүнө туташуу USB же Ethernet аркылуу жүзөгө ашырылыши мүмкүн, мында тармактык орнотуулар жана драйверлер ар түрдүү операциондук системалар менен шайкештики камсыз кылуу үчүн туура келиши керек.

Иштелип чыккан система графикалык колдонуучу интерфейси жана ар кандай аппараттык орнотуулар менен иштөөгө ылайыкталган драйверлерди камтыйт. Программалык каражаттар Python тилинде жазылган, бул ар кандай платформаларда иштеп чыгуу жана тестирлоонун ынгайлдуулугун камсыз кылат. Программа индуктивдүү сенсорлорду колдонуп өлчөө жүргүзүүгө, түзүлүштүн маалыматтарын жана орнотууларын башкарууга, ошондой эле алынган маалыматтарды реалдуу убакыт режиминде иштетүүгө жана визуалдаштырууга мүмкүндүк берет.

Колдонуучу интерфейсинин негизги элементтери – толук комплекстүү каршылыктын жыштыктан көз карандылыгы графиги, талаалар жана олчөө процессин баштоо баскычы.

Ошондой эле, өндүрүштүк геоэкология тармагында электр линияларын мониторингдөө системасы үчүн программалык компонент иштелип чыккан, бул бузулууларды аныктоонун өнүккөн чечими болуп саналат. Бул санаариптик технологияларды колдонуу менен ишенимдүүлүгү жана тактыгы жогорулатылган заманбап мониторинг системасы болуп саналат. Түзүлүш жер астындагы кабелдердин жогорку тығыздыгы жана маанилүү электромагниттик тоскоолдуктар шартында иштөөгө жөндөмдүү.

Системанын программалык камсыздосуу аппараттык камсыздоо менен интеграцияланып, микролокациялоочу түзүлүштердүн конфигурациясын жаныртуу, конфигурациялоо, системанын диагностикасы жана сканерлөө маалыматтарын башкаруу үчүн иштелип чыккан. Сунушталган чечим башкаруу жана индикация интерфейстери катары заманбап мобилдик жана планшеттик түзүлүштердү колдонууга мүмкүндүк берет, бул массалык жана олчомдордун муноздөмөлөрүн азайтып, түзүлүштү колдонууга жөнөкөй кылат. Система түзүлүштөргө USB жана

Ethernet аркылуу туташуу мүмкүнчүлүгүн берип, колдонууда жогорку ийкемдүүлүктүү камсыз кылат. ЛКАРД Е502 маалыматтарды чогултуу платформасы реалдуу убакыт режиминде аналогдук жана санаариптик сигналдарды иштете алган универсалдуу киргизүү/чыгаруу интерфейси болуп саналат.

Программалык компонент ошондой эле Python тилинде иштелип чыккан, бул ар кандай маалыматтарды талдоо жана натыйжаларды интерактивдүү визуалдаштыруу үчүн ар кандай китеңканаларды жана модулларды оной интеграциялоого мүмкүндүк берет. Вейвлет өзгөрүүлөрүн жана санаариптик маалыматтарды фильтрациялоону колдонуу сигналдарды иштетүү сапатын жакшыртат жана кабелдик трассалардын жайгашкан жерин аныктоонун тактыгын жогорулатат.

Ошондой эле, ЛКАРД Е502 маалыматтарды чогултуу түзүлүшүнө негизделген жана Python тилинде жазылган электр линияларын мониторингдөө системасынын мобилдик программалык компоненти иштелип чыккан, бул маалыматтарды иштетүү жана визуалдаштыруу үчүн колдонулат. Бул компоненттин өзгөчөлүгү анын ар кандай операциондук системалары бар стационардык компьютерлерден мобилдик түзүлүштөргө чейин ар кандай эсептөө түзүлүштөрүндө иштей алуусунда. Бул потенциалдуу колдонуучуларды көбөйтөт жана GPS кабылдагычы жана магниттик компас сыйктуу орнотулган функцияларды колдонуу менен системанын функционалдык мүмкүнчүлүктөрүн көңөйттөт. Программалык компонент KiVu инструменталдык каражатын колдонуп иштелип чыккан, ал ар кандай платформаларда жогорку өндүрүмдүүлүкке жана иштөөгө жөндөмдүү графикалык колдонуучу интерфейсин түзүүгө мүмкүндүк берет. Ошондой эле, ар кандай түзүлүштөр менен шайкештики камсыз кылуу үчүн маалыматтарды визуалдаштыруу китеңканасын жана маалыматтарды чогултуу платасынын драйверин адаптациялоо камтылган.

Геологиялык чойронун динамикасы тармагында (1-сүрөттү к.) программалык компонент иштелип чыккан, бул радиотолкундуу талдоо системасы, ал Software-Defined Radio (SDR) технологиясы аркылуу тоо тектерин өлчөө параметрлерин өлчөө үчүн иштелип чыккан, бул өлчөө процессин башкарууга жана системанын параметрлерин ар кандай эксперименталдык шарттарга ылайыкташтырууга мүмкүндүк берет. Система ар кандай жыштыктарда иштөөгө жөндөмдүү, баасы боюнча оптималдаштырылган жана колдонуучу интерфейси аркылуу орнотууларды башкаруу мүмкүнчүлүгүнө ээ. Системанын негизги элементтерине SDR, маалыматтарды чогултуу үчүн микротилкелүү антенналар жана алынган маалыматтарды талдоо үчүн программалык камсыздоо кирет.

HackRF One колдонулган SDR тоо тектерин анализдоонун милдеттери үчүн жетиштүү техникалык муноздемөлөргө жана жеткиликтүүлүкке ээ болгондуктан тандалган. Программалык бөлүгү GNU Radio Companion аркылуу ишке ашырылып, параметрлерди ийкемдүү башкарууну жана натыйжаларды реалдуу убакыт режиминде визуалдаштырууну камсыз кылат.

Система үлгүлөрдүн диэлектрик өтүмдүүлүгү жана откоргүчтүгү сыйктуу электрик касиеттерин эркин мейкиндик ыкмасы менен талдоого мүмкүндүк берет, бул ыкма радиотолкундардын үлгүдөн откөн амплитудасы жана фазасын каттайт. Бул геофизикалык изилдөөлөр үчүн экономикалык жактан натыйжалуу жана технологиялык жактан өнүккөн чечимди сунуш қылуу менен жаны мүмкүнчүлүктөрдү ачат.

Медициналык геоэкология тармагында (1-сүрөттү к.) TensorFlow Lite машиналык окутуу платформасынын негизинде Android мобилдик тиркемесинин прототиби иштелип чыккан. TensorFlow Litetin негизги өзгөчөлүктөрүнө мобилдик жана орнотулган түзүлүштөр үчүн оптималдаштыруу, ар кандай платформаларды жана программалоо тилдерин колдоо, ошондой эле аппараттык тездетүү аркылуу жогорку өндүрүмдүүлүк кирет. Тиркеменин прототиби сүрөттөрдү классификациялоого, нейрон тармагынын иштөө режимдерин башкарууга, иштетүү ағымдарынын санын жана аткаруу түзүлүшүн (CPU же GPU) талдоого мүмкүндүк берет. Тиркеменин колдонуучусу таанылган класстар жөнүндө маалымат жана тиркеменин иштөө чоо-жайы сыйктуу маалыматтарды ала алат, бул программалык каражаттарды иштетүү жана тестирилөөгө пайдалуу.

Ошондой эле, рентген сүрөттөрүнүн базасын жаңыртуу жана аудиторияны көнөйттүү үчүн Telegram-бот иштелип чыккан. Боттун колдонууга ынгайлуулугу анын популлярдуу мессенджер Telegram аркылуу иштешинде жана кошумча тиркемелерди орнотууну талап кылбагандыгында турат.

Колдонуучулар ботко өпкөнүн рентген сүрөттөрүн жөното альшат, ал сүрөттөрдү терен нейрон тармактарынын жардамы менен талдан, алдын ала диагностика же сунуштарды берет. Колдонуучулардын маалыматтары корголгон жана шифрленген түрдө сакталат. Маалыматтарды башкаруу үчүн түзүлгөн веб-интерфейс адистерге сүрөттөрдү талдоого жана аннотацияларды кошууга, ошондой эле колдонуучулардын маалыматтарын башкарууга мүмкүнчүлүк берет. Программалык компоненттер Python тилинде Flask фреймворку жана SQLite маалыматтар базасы колдонулуп иштелип чыккан, бул учурдагы жасалма интеллект ыкмаларын так диагностика үчүн интеграциялоого мүмкүндүк берет.

Диссертациянын жыйынтыгында илимий изилдөөлөрдүн жана иштеп чыгуулардын жыйынтыгы чогултулган, ошондой эле эмгекте изилденген илимий методологиялык масслелердин чөйрөсү көлтирилген.

Тиркемеде иштелип чыккан жасалма интеллект системаларынын эксперименталдык изилдөөлөрүнүн жыйынтыктары жана изилдөөлөрдүн жыйынтыгын киргизүү актылары берилген.

ЖЫЙЫНТЫК

Жүргүзүлгөн илимий изилдөөлөрдүн натыйжасында төмөнкү негизги жыйынтыктар алынган.

1. Геоэкологиялык процесстерди мониторинг қылуу ыкмаларынын учурдагы абалына комплекстүү анализ жүргүзүлдү. Изиљдең учурунда геоэкологиялык мониторинг тармагында бар болгон негизги аспекттер жана көйгөйлөр аныкталды, бул интеллектуалдык ыкмалар менен маалыматтарды чогултуу жана талдоо методдорун иштеп чыгууга негиз болду.
2. Геоэкологиялык мониторинг системаларына жасалма интеллект методдорун интеграциялоо концепциясы иштелип чыгып, негизделди. Бул геоэкологиялык процесстерди идентификациялоонун жана божомолдоонун тактыгын жогорулатууга мүмкүндүк берди.
3. Интеллектуалдык маалымат-өлчөөчү системаларды түзүүнүн принциптери иштелип чыгып, ишке ашырылды, бул аппараттык жана программалык компоненттердин геоэкологиялык маалыматтарды өлчөө жана талдоо үчүн натыйжалуу өз ара аракеттенүүсүн камсыз қылды.
4. Антenna параметрлерин оптималдаштыруу үчүн ЖИТ колдонгон радиотолкундуу антенналык модулларды долбоорлоо методологиясы иштелип чыгып, антенналардын натыйжалуулугун жана функционалдуулугун жогорулатты.
5. Сенсорлордун индуктивдүү компоненттеринин параметрлерин өлчөө үчүн жакшыртылган ыкмалар жана түзүлүштөр иштелип чыкты, бул терен нейрон тармактарынын жардамы менен алардын абалын мониторинг қылуунун тактыгын жана ишенимдүүлүгүн тышки таасирлер шартында бир кыла жогорулатууга мүмкүндүк берди.
6. Маалыматтардагы ар кандай өзгөчөлүктөрдү эске алууга мүмкүндүк берген базалык вейвлеттин кошумча жондөлүүчү параметрлерин камтыган убакыт катарларын иштеп чыгуу үчүн адаптивдүү мультивейвлеттик тармактын жана түзүмү сунушталды.
7. Медициналык КТ жана рентген сүрөттөрүн идентификациялоо үчүн терен конволюциялык нейрон тармактарынын түзүмдерүү иштелип чыгып, бул өпкө ооруларын диагностика қылуу жана мониторинг жүргүзүүнү жакшыртты.
8. Терен нейрон тармагына негизделген электр чубалгыларынын кемчиликтерин аныктоонун жана идентификациялоонун жаңы ыкмасы иштелип чыгып, бул алардын ишенимдүүлүгүн жана коопсуздугун жогорулатууга ебелгө түздү.

ПРАКТИКАЛЫК СУНУШТАР

Диссертациялык изилдөөлөрдүн натыйжалары төмөнкүдө колдонулушу мүмкүн:

- геоэкологиялык мониторингдин натыйжалуулугун жогорулатуу үчүн, бул геоэкология тармагында башкаруу процесстерин оптималдаштырууга ебелгө түзөт;
- экологиядагы маалыматтарды талдоодо жана жасалма интеллект жаатындагы мындан аркы изилдөөлөрдө, бул санаариптик технологиялардын өнүгүшүүнө ебелгө түзөт;

- интеллектуалдык мониторинг системаларынын негизинде коммерциялык продукт катары, алар экологиялык консалтинг жана аудит менен алектенген компанияларга сунушталышы мүмкүн;
- әл аралык долбоорлорду жана глобалдык экологиялык көйтейлердүү чечүүгө бағытталган изилдөөлөрдүү ишке ашыруу аркылуу әл аралык илимий кызматташтыкты чындоо учун;
- геэкология жана маалыматтык технологиялар боюнча адистештирилген жогорку окуу жайларынын билим берүү программаларына интеграциялоо аркылуу адистерди даярдоонун сапатын жогорулаттуу учун.

ДИССЕРТАЦИЯ ТЕМАСЫ БОЮНЧА ЖАРЫЯЛАНГАН ИШТЕРДИН ТИЗМЕСИ

1. Верзунов, С. Н. Аналитический обзор систем мониторинга геоэкологических процессов [Текст] / С. Н. Верзунов, И. В. Брякин // Проблемы автоматики и упр. – 2024. – № 1 (49). – С. 78–93. – Ошол эле: [Электрондук ресурс]. – Кирүү режими: <https://www.elibrary.ru/item.asp?id=67210021>.
2. Брякин, И. В. Методы предварительной обработки результатов физического эксперимента [Текст] / И. В. Брякин, С. Н. Верзунов, Н. М. Лыченко. – Бишкек: ИАИТ, 2017. – 97 с. – Ошол эле: [Электрондук ресурс]. – Кирүү режими: <https://imash.kg/page/metody-predvaritelnoj-obrabotki>.
3. Верзунов, С. Н. Сравнительный анализ возможностей мультивейвлетной нейросетевой модели для решения задач прогнозирования [Текст] / С. Н. Верзунов, Н. М. Лыченко // Вестн. Кырг.-Рос. Славян. ун-та. – 2019. – Т. 19, № 4. – С. 39–45. – Ошол эле: [Электрондук ресурс]. – Кирүү режими: <https://www.elibrary.ru/item.asp?id=38171888>.
4. Верзунов, С. Н. Мультивейвлетная полиморфная сеть для прогнозирования геофизических временных рядов [Текст] / С. Н. Верзунов, Н. М. Лыченко // Проблемы автоматики и упр. – 2017. – № 1 (32). – С. 78–87. – Ошол эле: [Электрондук ресурс]. – Кирүү режими: <https://www.elibrary.ru/item.asp?id=29305142>.
5. Верзунов, С. Н. Полиморфная вейвлет-сеть с обратными связями для идентификации нестационарных временных рядов [Текст] / С. Н. Верзунов, Н. М. Лыченко // Проблемы автоматики и упр. – 2017. – № 2 (33). – С. 52–61. – Ошол эле: [Электрондук ресурс]. – Кирүү режими: <https://www.elibrary.ru/item.asp?id=30780906>.
6. Verzunov, S. N. Non-stationary time series forecasting based on multiwavelet polymorphic network [Text] / S. N. Verzunov, N. M. Lychenko // Modeling, Optimization and Information Technology. – 2018. – Vol. 6, N 4 (23). – P. 143–154. – DOI 10.26102/2310-6018/2018.23.4.012. – Ошол эле: [Электрондук ресурс]. – Кирүү режими: <https://elibrary.ru/item.asp?id=37112921>.
7. Верзунов, С. Н. Аппроксимация временных рядов полиморфной вейвлет-сетью с обратными связями [Текст] / С. Н. Верзунов, Н. М. Лыченко // Мат. структуры и

- моделирование. – 2016. – № 2 (38). – С. 16–26. – Ошол эле: [Электрондук ресурс]. – Кирүү режими: <https://www.elibrary.ru/item.asp?id=26283582>.
8. Верзунов, С. Н. Технология прогнозирования экологических параметров окружающей среды на базе мультивейвлетной сети [Текст] / С. Н. Верзунов, Н. М. Лыченко // Вестн. Кырг.-Рос. Славян. ун-та. – 2017. – Т. 17. – № 12. – С. 145–149. – Ошол эле: [Электрондук ресурс]. – Кирүү режими: <https://www.elibrary.ru/item.asp?id=32545404>.
 9. Верзунов, С. Н. Двойной Т-образный фильтр для цифрового трёхкомпонентного индукционного магнитометра [Текст] / В. В. Ханасова, С. Н. Верзунов // Вестн. Кырг.-Рос. Славян. ун-та. – 2017. – Т. 17, № 5. – С. 101–104. – Ошол эле: [Электрондук ресурс]. – Кирүү режими: <https://www.elibrary.ru/item.asp?id=29729484>.
 10. Верзунов, С. Н. Цифровой трехкомпонентный индукционный вариометр с двойными Т-образными фильтрами [Текст] / С. Н. Верзунов, В. В. Ханасова // Изв. Нац. АН Кырг. Респ. – 2016. – № 2. – С. 6–9. – Ошол эле: [Электрондук ресурс]. – Кирүү режими: <https://www.elibrary.ru/item.asp?id=27398128>.
 11. Верзунов, С. Н. Сравнение глубоких нейронных сетей на основе различных предварительно обученных CNN для диагностики COVID-19 по рентгеновским снимкам [Текст] / С. Н. Верзунов, Х. А. Раймжанов // Проблемы автоматики и упр. – 2021. – № 1 (40). – С. 12–25. – Ошол эле: [Электрондук ресурс]. – Кирүү режими: <https://www.elibrary.ru/item.asp?id=45678650>.
 12. Раймжанов, Х. А. Автоматизированная система диагностики COVID-19 на основе рентгеновских снимков [Текст] / Х. А. Раймжанов, С. Н. Верзунов // Современные техника и технологии в научных исследованиях: сб. материалов XIV Междунар. конф. молодых ученых и студентов, Бишкек, 27-29 апр. 2022 г. / отв. ред. О. Б. Забинякова. – Бишкек, 2022. – С. 401–405. – Ошол эле: [Электрондук ресурс]. – Кирүү режими: <https://www.elibrary.ru/item.asp?id=49802438>.
 13. Verzunov, S. N. Device for Measuring Parameters of Coils of Induction Magnetometers [Text] / S. N. Verzunov, I. V. Bochkarev, V. R. Khramshin // Proceedings - 2020 International Russian Automation Conference, RusAutoCon 2020, Sochi, 06-12 сент. 2020 г. – Sochi, 2020. – P. 699–703. – DOI 10.1109/RusAutoCon49822.2020.9208108. – Ошол эле: [Электрондук ресурс]. – Кирүү режими: <https://www.elibrary.ru/item.asp?id=44757427>.
 14. Verzynov, S. N. Development of line locator software component for mobile operating systems [Text] / S. N. Verzynov, I. V. Bochkarev, V. R. Khramshin // Proceedings - 2020 International Conference on Industrial Engineering, Applications and Manufacturing, ICIEAM 2020, Sochi, 18-22 мая 2020 г. – Sochi, 2020. – P. 1-5. – DOI 10.1109/ICIEAM48468.2020.9112019. – Ошол эле: [Электрондук ресурс]. – Кирүү режими: <https://www.elibrary.ru/item.asp?id=43301381>.
 15. Intelligent System of Partial Discharge Diagnostics in Power Mains [Text] / S. N. Verzunov, I. V. Bochkarev, V. Khramshin, M. G. Gunina // Proceedings 2023 International Ural Conference on Electrical Power Engineering (UralCon), Magnitogorsk, 29 сент. – 01 окт. 2023 г., IEEE. – 2023. – P. 685–689. – DOI 10.1109/UralCon59258.2023.10291050. –

- Ошол эле: [Электрондук ресурс]. – Кирүү режими: <https://www.elibrary.ru/item.asp?id=54912645>.
16. Verzunov, S. N. Intelligent Monitoring System of Underground Cable Network Faults [Text] / S. N. Verzunov, I. V. Bochkarev, V. R. Khramshin // International Russian Automation Conference: Proceedings 2022 International Russian Automation Conference (RusAutoCon), Sochi, 04-10 сент. 2022 г. – Danvers, 2022. – Р. 950–955. – DOI 10.1109/RusAutoCon54946.2022.9896255. – Ошол эле: [Электрондук ресурс]. – Кирүү режими: <https://www.elibrary.ru/item.asp?id=50052714>.
17. Верзунов, С. Н. Разработка системы сбора и визуализации данных для цифрового трёхкомпонентного индукционного магнитометра [Текст] / С. Н. Верзунов, Д. А. Токсантов // Проблемы автоматики и упр. – 2018. – № 2 (35). – С. 103–108. – Ошол эле: [Электрондук ресурс]. – Кирүү режими: <https://www.elibrary.ru/item.asp?id=36737684>.
18. Верзунов, С. Н. Способы оптимизации расчёта 3D графики для тайловых графических процессоров на примере визуализации моделирования гравитационного взаимодействия N тел [Текст] / С. Н. Верзунов, Д. А. Токсантов // Проблемы автоматики и упр. – 2018. – № 1 (34). – С. 26–35. – Ошол эле: [Электрондук ресурс]. – Кирүү режими: <https://www.elibrary.ru/item.asp?id=35590541>.
19. Верзунов, С. Н. Система диагностики возникновения частичного разряда в надземных силовых электросетях на основе интеллектуального анализа данных в HF-диапазоне [Текст] / С. Н. Верзунов, И. В. Бочкарев // Электротехн. системы и комплексы. – 2023. – № 3 (60). – С. 4–14. – DOI 10.18503/2311-8318-2023-3(60)-4-14. – Ошол эле: [Электрондук ресурс]. – Кирүү режими: <https://www.elibrary.ru/item.asp?id=54609614>.
20. Верзунов, С. Н. Разработка программного компонента трассоискателя на базе устройства сбора данных Л КАРД Е502 [Текст] / С. Н. Верзунов, И. В. Бочкарев // Электротехн. системы и комплексы. – 2018. – № 2 (39). – С. 42–48. – DOI 10.18503/2311-8318-2018-2(39)-42-48. – Ошол эле: [Электрондук ресурс]. – Кирүү режими: <https://www.elibrary.ru/item.asp?id=35162297>.
21. Верзунов, С. Н. Разработка интеллектуальной системы экспресс анализа физических свойств твердотельных структур геоматериалов [Текст] / А. У. Касимова, С. Н. Верзунов // Математическое и компьютерное моделирование: сб. материалов X Междунар. науч. конф., Омск, 10 фев. 2023 г. – Омск, 2023. – С. 122–124. – Ошол эле: [Электрондук ресурс]. – Кирүү режими: <https://www.elibrary.ru/item.asp?id=50349417>.
22. Верзунов, С. Н. Разработка устройства для экспресс анализа физических свойств геоматериалов [Текст] / С. Н. Верзунов, А. У. Касимова // Математические и компьютерные моделирование физических процессов: материалы Респ. науч.-практ. конф., посвящ. 20-летию изучения и развития естеств., точных и мат. дисциплин в сфере науки и образования, Душанбе, 09 февр. 2023 г. – Душанбе, 2023. – С. 101–107. – Ошол эле: [Электрондук ресурс]. – Кирүү режими: <https://www.elibrary.ru/item.asp?id=54923502>.
23. Верзунов, С. Н. Разработка программно-определенной радиосистемы для измерения физических свойств геоматериалов [Текст] / А. У. Касимова, С. Н. Верзунов // Проблемы автоматики и упр. – 2023. – № 1 (46). – С. 59–64. – Ошол эле: [Электрондук ресурс]. – Кирүү режими: <https://www.elibrary.ru/item.asp?id=53752273>.
24. Верзунов, С. Н. Обзор и анализ современных методов измерения диэлектрической проницаемости горных пород [Текст] / А. У. Касимова, С. Н. Верзунов // Проблемы автоматики и упр. – 2022. – № 1 (43). – С. 33–49. – Ошол эле: [Электрондук ресурс]. – Кирүү режими: <https://www.elibrary.ru/item.asp?id=48227473>.
25. Верзунов, С. Н. Программные средства для сбора и анализа геоэкологических данных с помощью устройства Л Кард [Электрондук ресурс] / С. Н. Верзунов, В. В. Кириллова // Вестн. Кырг.-Рос. Славян. ун-та. – 2018. – Т. 18, № 4. – С. 43–47. – Кирүү режими: <https://www.elibrary.ru/item.asp?id=35017312>.
26. Верзунов, С. Н. Анализ и ARIMA-модели динамики изменения концентрации PM2.5 в атмосферном воздухе г. Бишкек [Текст] / С. Н. Верзунов, Н. М. Лыченко // Проблемы автоматики и упр. – 2019. – № 1 (36). – С. 147–155. – Ошол эле: [Электрондук ресурс]. – Кирүү режими: <https://www.elibrary.ru/item.asp?id=39323436>.
27. Верзунов, С. Н. Краткосрочное прогнозирование индекса качества воздуха на основе ARIMA-моделей [Текст] / С. Н. Верзунов, Н. М. Лыченко // Математическое и компьютерное моделирование: сборник материалов VII Международной научной конференции, посвященной памяти С.С. Ефимова, Омск, 22 ноября 2019 года. – Омск: Омский государственный университет им. Ф.М. Достоевского, 2020. – С. 76–78. – Ошол эле: [Электрондук ресурс]. – Кирүү режими: <https://www.elibrary.ru/item.asp?id=43793827>.
28. Модели прогноза уровня загрязнения атмосферного воздуха г. Бишкек [Текст] / Н. М. Лыченко, Л. И. Великанова, С. Н. Верзунов, А. В. Сороковая // Вестн. Кырг.-Рос. Славян. ун-та. – 2021. – Т. 21, № 4. – С. 87–95. – Ошол эле: [Электрондук ресурс]. – Кирүү режими: <https://www.elibrary.ru/item.asp?id=45932557>.
29. Верзунов, С. Н. Концепция интеллектуальной системы геоэкологического мониторинга [Текст] / С. Н. Верзунов // Проблемы автоматики и упр. – 2023. – № 2 (47). – С. 91–108. – Ошол эле: [Электрондук ресурс]. – Кирүү режими: <https://www.elibrary.ru/item.asp?id=54265211>.
30. Верзунов, С. Н. Способ оптимизации конструктивных параметров ячеек-резонаторов микрополосковых антенн на основе интеллектуального анализа данных [Текст] / С. Н. Верзунов // Электротехн. системы и комплексы. – 2022. – № 3 (56). – С. 54–64. – DOI 10.18503/2311-8318-2022-3(56)-54-64. – Ошол эле: [Электрондук ресурс]. – Кирүү режими: <https://www.elibrary.ru/item.asp?id=49505384>.
31. Верзунов, С. Н. Диагностика различных видов пневмонии по рентгеновским снимкам грудной клетки [Текст] / С. Н. Верзунов // Проблемы автоматики и упр. – 2022. – № 1 (43). – С. 84–94. – Ошол эле: [Электрондук ресурс]. – Кирүү режими: <https://www.elibrary.ru/item.asp?id=48227477>.
32. Верзунов, С. Н. Система искусственного интеллекта для диагностики COVID-19 по КТ-снимкам [Текст] / С. Н. Верзунов // Проблемы автоматики и упр. – 2022. – № 3 (45). – С. 119–134. – Ошол эле: [Электрондук ресурс]. – Кирүү режими: <https://www.elibrary.ru/item.asp?id=50020290>.

- 33.Верзунов, С. Н. Система искусственного интеллекта для онлайн мониторинга подземных силовых кабельных линий на основе технологий глубокого обучения [Текст] / С. Н. Верзунов // Проблемы автоматики и упр. – 2021. – № 3 (42). – С. 83–94. – Ошол эле: [Электрондук ресурс]. – Кирүү режими: <https://elibrary.ru/item.asp?id=47242282>.
- 34.Верзунов, С. Н. Разработка программной части устройства для измерения параметров индуктивных компонентов магнитометров [Электрондук ресурс] / С. Н. Верзунов // Вестн. Кырг.-Рос. Славян. ун-та. – 2020. – Т. 20, № 12. – С. 136–144. – Кирүү режими: <https://elibrary.ru/item.asp?id=44744348>.
- 35.Верзунов, С. Н. Прогноз дальности видимости в аэропорту Манас с применением методов глубокого обучения [Текст] / С. Н. Верзунов // Молодой ученый. – 2020. – № 19 (309). – С. 112–119. – Ошол эле: [Электрондук ресурс]. – Кирүү режими: <https://elibrary.ru/item.asp?id=42838621>.
- 36.Верзунов, С. Н. Разработка кроссплатформенного программного компонента трассоискателя [Текст] / С. Н. Верзунов // Проблемы автоматики и упр. – 2020. – № 1 (38). – С. 50–59. – DOI 10.5281/zenodo.3904110. – Ошол эле: [Электрондук ресурс]. – Кирүү режими: <https://elibrary.ru/item.asp?id=43980500>.
- 37.Верзунов, С. Н. Способ измерения параметров индуктивного компонента магнитометров на основе метода преобразования полного сопротивления в напряжение [Текст] / С. Н. Верзунов // Современные техника и технологии в научных исследованиях: сб. материалов XI Междунар. конф. молодых ученых и студентов, Бишкек, 24-26 апр. 2019 г.: в 2-х т. – Бишкек, 2019. – Т. 2. – С. 53–59. – Ошол эле: [Электрондук ресурс]. – Кирүү режими: <https://elibrary.ru/item.asp?id=38527170>.
- 38.Верзунов, С. Н. Применение глубоких нейронных сетей для краткосрочного прогноза дальности видимости [Текст] / С. Н. Верзунов // Проблемы автоматики и упр. – 2019. – № 1 (36). – С. 118–130. – DOI 10.5281/zenodo.3253019. – Ошол эле: [Электрондук ресурс]. – Кирүү режими: <https://elibrary.ru/item.asp?id=39323433>.
- 39.Верзунов, С. Н. Гибридная модель прогнозирования временных рядов на основе полиморфной вейвлет-сети [Текст] / С. Н. Верзунов // Современные техника и технологии в научных исследованиях: сб. материалов X Междунар. конф. молодых ученых и студентов, Бишкек, 18-20 апр. 2018 г. – Бишкек, 2018. – С. 351–357. – Ошол эле: [Электрондук ресурс]. – Кирүү режими: <https://elibrary.ru/item.asp?id=35443534>.
- 40.Верзунов, С. Н. Способ измерения параметров катушек индуктивности магнитометров и его реализация на основе платы сбора данных Л Кард Е 502 [Текст] / С. Н. Верзунов // Проблемы автоматики и упр. – 2018. – № 2 (35). – С. 94–102. – Ошол эле: [Электрондук ресурс]. – Кирүү режими: <https://elibrary.ru/item.asp?id=36737681>.
- 41.Верзунов, С. Н. Электронный каталог журналов научного издательства на базе Wordpress [Текст] / С. Н. Верзунов // Проблемы автоматики и упр. – 2017. – № 1 (32). – С. 88–94. – Ошол эле: [Электрондук ресурс]. – Кирүү режими: <https://elibrary.ru/item.asp?id=29305143>.
- 42.Верзунов, С. Н. Обзор методов разработки приложений для гетерогенных параллельных вычислительных систем [Текст] / С. Н. Верзунов // Проблемы автоматики и упр. – 2017. – № 2 (33). – С. 62–71. – Ошол эле: [Электрондук ресурс]. – Кирүү режими: <https://elibrary.ru/item.asp?id=30780907>.
- 43.Верзунов, С. Н. Определение К-индекса геомагнитной активности [Текст] / С. Н. Верзунов // Проблемы автоматики и упр. – 2016. – № 1 (30). – С. 47–54. – Ошол эле: [Электрондук ресурс]. – Кирүү режими: <https://elibrary.ru/item.asp?id=26718289>.
- 44.Верзунов, С. Н. Цифровая обработка сигналов [Текст]: учеб.-метод. пособие для выполнения практ. работ по курсу / С. Н. Верзунов, М. С. Осмонов. – Бишкек: КРСУ, 2018. – 72 с. – Ошол эле: [Электрондук ресурс]. – Кирүү режими: <https://imash.kg/media/uploads/2024/05/03/65.pdf>.
- 45.Верзунов, С. Н. Практикум по дисциплине системы искусственного интеллекта: направление подготовки «Программная инженерия» [Текст]: учеб.-метод. пособие / С. Н. Верзунов. – Бишкек: КРСУ, 2022. – 45 с. – Ошол эле: [Электрондук ресурс]. – Кирүү режими: <https://imash.kg/page/praktikum-po-discipline-sistemy/>.
- 46.Верзунов, С. Н. Мониторинг и идентификация геэкологических процессов на базе интеллектуального анализа данных [Текст] / С. Н. Верзунов. – Бишкек: Илим, 2022. – 168 с. – ISBN 978-9967-12-943-6. – Ошол эле: [Электрондук ресурс]. – Кирүү режими: <https://elibrary.ru/item.asp?id=53697468>.
- 47.А.с. № 708 от 06.08.2021 «OJS2ELIBRARY». Программа для конвертации метаданных выпусков журналов из системы OPEN JOURNAL SYSTEM в систему MURKUP.ELIBRARY.RU [Электрондук ресурс] / С. Н. Верзунов, А. А. Ревш. – 1 с. – Кирүү режими: <https://imash.kg/page/ojs2elibrary-programma/>.
- 48.А.с. № 443 от 21.12.2016 Плагин WordPress для создания электронной библиотеки. (METAMAKER) [Электрондук ресурс] / С. Н. Верзунов. – 1 с. – Кирүү режими: <https://drive.google.com/file/d/1H4FTOd9UHnIAITa3F3kM8sUhf2xkOUR1/view>.
- 49.А.с. № 519 от 27.08.2018 Программный компонент трассоискателя на базе устройства сбора данных Л КАРД Е502, ПК ПЕРСПЕКТИВА [Электрондук ресурс] / С. Н. Верзунов. – 1 с. – Кирүү режими: <https://drive.google.com/file/d/1NHJbqI0DL-13er0wHKnqesWjk6hy2hSn/view>.
- 50.А.с. № 770 от 03.10.2022 «LUNG HEALTH» мобильное приложение для мониторинга и идентификации заболеваний легких на базе интеллектуального анализа данных [Электрондук ресурс] / С. Н. Верзунов. – 1 с. – Кирүү режими: <https://imash.kg/page/lung-health-mobilnoe-prilozhenie/>.
- 51.А.с. № 772 от 03.10.2022 «LCR METER» программные средства для измерения параметров индуктивного компонента магнитометра на базе интеллектуального анализа данных [Электрондук ресурс] / С. Н. Верзунов. – 1 с. – Кирүү режими: <https://imash.kg/page/lcr-meter-programmnye/>.
- 52.Пат. № 1844 Кыргызская Республика, 29 февраль 2016 г. Верзунов, С. Н. Способ определения К-индекса геомагнитной активности с помощью полиморфной вейвлет-сети [Электрондук ресурс] / С. Н. Верзунов; Государственная служба интеллектуальной собственности и инноваций при правительстве Кырг. Респ. – Заяв. 18.05.2015; Опубл. 31.03.2016, Бюл. № 3. – 11 с. – Кирүү режими: <https://drive.google.com/file/d/1uhYtbWZLPiD2MSSgndHu6cMooCRIfw13/view?pli=1>.

Верзунов Сергей Николаевичтін «Интеллектуалдық маалыматтарды талдоонун негизинде геоэкологиялық процесстерге мониторинг жүргүзүү жана аныктоо методдорун иштеп чыгуу» деген темада 05.13.01 – системалык талдоо, маалыматтарды башкаруу жана иштеп чыгуу адистиги боюнча техника илимдердин доктору окумуштуулук даражасын алуу үчүн диссертациясынын

РЕЗЮМЕСИ

Негизги сөздөр: жасалма интеллект, машиналык үйрөнүү, маалыматтарды иштеп чыгуу, геоэкологиялық мониторинг, маалыматтарды алдын ала иштеп чыгуу, маалыматтарды классификациялоо, концепция, прогностикалык моделдер, маалыматтарды башкаруу.

Изилдөө методдору: системалык талдоо методдору, компьютердик моделдөө, эксперименталдык маалыматтарды иштеп чыгуу методдору, ошондой эле заманбап жасалма интеллект жана кроссплатформалык программалоо технологиилары.

Изилдөөнүн объектиси - геоэкологиялық процесстер.

Изилдөөнүн предмети - геоэкологиялық мониторингдин интеллектуалдык методдору жана каражаттары.

Изилдөөнүн максаты - интеллектуалдык маалымат жана өлчөө тутумдарын түзүү аркылуу геоэкологиялық процесстерди аныктоо маселелерин чечүүнүн натыйжалуулугун жогорулатуу

Алынган натыйжалар жана алардын жаңылыгы. Геоэкологиялык чейрөнүн абалына мониторинг кылуу боюнча жаңы концепция сунушталды, бул геоэкологиялық процесстердин параметрлерине мониторинг кылуу жана талдоо үчүн комплекстүү чечим болуп саналат. Мониторинг датчиктеринин индуктивдүү компоненттеринин параметрлерин тактап аныктоого мүмкүнчүлүк берген жаңы метод сунушталды, бул метод кокусунан пайда болгон фондук электромагниттик талаалардын шарттарында индуктивдүү компоненттердин параметрлерин эки эссе так аныктоого мүмкүндүк берет. Микротолкундуу антенналардын CCSR элементтеринин конструкциялық дизайннын тандоо процессин оптималдаштыруунун жаңы жолу сунушталды. Адаптивдүү мультивейвлеттик тармактын жаңы структурасына негизделген геоэкологиялық убакыт ырааттуулуктарын болжолдоо методикасы иштелип чыкты. Медициналык геоэкология чейрөсүндө COVID-19ду ыкчам диагностикалоого арналган жасалма интеллекте негизделген универсалдуу мониторинг системалары иштелип чыкты.

Диссертациялык изилдөөлөрдүн натыйжалары геоэкологиялык мониторингдин натыйжалуулугун жогорулатуу үчүн колдонулушу мүмкүн, бул геоэкология чейрөсүндө башкаруу процесстерин оптималдаштырууга көмектештөт.

Колдонуу чейрөсү: геоэкология, инженердик геофизика.

РЕЗЮМЕ

диссертацији Верзунова Сергея Николаевича на тему «Разработка методов мониторинга и идентификацији геоэкологических процессов на базе интеллектуального анализа данных» на соискание ученой степени доктора технических наук по специальности 05.13.01 – системный анализ, управление и обработка информации

Ключевые слова: искусственный интеллект, машинное обучение, обработка данных, геоэкологический мониторинг, предварительная обработка информацији, классификация данных, концепция, прогностические модели, управление данными.

Методы исследования: методы системного анализа, компьютерное моделирование, методы обработки экспериментальных данных, а также современные технологии искусственного интеллекта и кроссплатформенного программирования.

Объектом исследования являются геоэкологические процессы.

Предметом исследования являются интеллектуальные методы и средства геоэкологического мониторинга.

Целью исследования является повышение эффективности решения задач идентификацији геоэкологических процессов путем создания интеллектуальных информационно-измерительных систем.

Полученные результаты и их новизна. Предложена новая концепция интеллектуальной системы мониторинга состояния геоэкологической среды, представляющая собой комплексное решение для мониторинга и анализа параметров геоэкологических процессов. Обоснован новый метод измерения параметров индуктивных компонентов датчиков, позволяющий в два раза точнее определять параметры индуктивных компонентов датчиков мониторинга в условиях воздействия случайных фоновых электромагнитных полей. Предложен новый способ оптимизацији процесса проектирования микрополосковых антенн для выбора дизайна конструктивных CCSR- элементов микрополосковых антенн. Разработана методика прогнозирования геоэкологических временных последовательностей, основанная на новой структуре адаптивной мультивейвлетной сети. Разработаны универсальные системы мониторинга на основе искусственного интеллекта в сфере медицинской геоэкологији, предназначенные для оперативной диагностики COVID-19.

Результаты диссертационных исследований могут использоваться для повышения эффективности геоэкологического мониторинга, что будет способствовать оптимизацији процессов управления в сфере геоэкологији.

Область применения: геоэкология, инженерная геофизика.

SUMMARY

of the dissertation by Sergey Nikolaevich Verzunov on the topic "Development of Methods for Monitoring and Identifying Geoelectrical Processes Based on Intelligent Data Analysis" for the degree of Doctor of Technical Sciences in the specialty 05.13.01 – system analysis, control, and information processing.

Keywords: artificial intelligence, machine learning, data processing, geoelectrical monitoring, data preprocessing, data classification, concept, predictive models, data management.

Research methods: system analysis methods, computer modeling, experimental data processing methods, as well as modern artificial intelligence technologies and cross-platform programming.

The object of the research is geoelectrical processes.

The subject of the research is intelligent methods and tools for geoelectrical monitoring.

The aim of the research is to improve the efficiency of identifying geoelectrical processes by developing intelligent information-measurement systems.

Obtained results and their novelty: A new concept of an intelligent system for monitoring the state of the geoelectrical environment has been proposed, representing a comprehensive solution for monitoring and analyzing the parameters of geoelectrical processes. A new method for measuring the parameters of inductive components of sensors has been substantiated, allowing for twice the accuracy in determining sensor parameters under the influence of random background electromagnetic fields. A new approach to optimizing the design process of microstrip antennas has been proposed, facilitating the selection of constructive CCSR elements for these antennas. A methodology for forecasting geoelectrical time series has been developed, based on a new structure of an adaptive multi-wavelet network. Universal monitoring systems based on artificial intelligence have been developed in the field of medical geoelectrics, intended for rapid diagnosis of COVID-19.

The results of the dissertation research can be applied to enhance the efficiency of geoelectrical monitoring, contributing to the optimization of management processes in the field of geoelectrics.

Field of application: geoelectrics, engineering geophysics.



Verzunov Sergey Nikolaevich

Интеллектуалдык маалыматтарды талдоонун негизинде геоэкологиялык процесстерге мониторинг жүргүзүү жана аныктоо методдорун иштеп чыгуу

техника илимдеринин доктору окумуштуу даражасын алуу үчүн
диссертациянын
Авторефераты

Басмага кол коюлган: 18.10.2024
Байрутма № 128

Формат 60x84 /16. Көлөмү 2.5 басма табак. Наклад 100 даана.

Басма: Ала-Тоо, Бишкек